

SYSTÈMES RAPIDES-LENTS EN MÉCANIQUE VIBRATOIRE

Application à l'étude du contrôle passif non linéaire de vibrations et des phénomènes transitoires dans les instruments de musique à anche

Baptiste BERGEOT

Maître de conférences, INSA Centre Val de Loire, LaMé EA 7494

JURY :

Sébastien BERGER	Professeur des Universités	INSA Centre Val de Loire
Nils BERGLUND	Professeur des Universités	Univ. Orléans
Thomas HÉLIE	Directeur de Recherche	CNRS, IRCAM
Claude-Henri LAMARQUE	Professeur ENTPE	ENTPE, Univ. Lyon
Pierre-Olivier MATTEI	Chargé de Recherche-HDR	CNRS, Univ. Aix-Marseille
Stéphane Méo	Professeur des Universités	Univ. Tours
Emeline SADOULET-REBOUL	Maître de Conférences-HDR	Univ. Franche-Comté
Christophe VERGEZ	Directeur de Recherche	CNRS, Univ. Aix-Marseille



INSTITUT NATIONAL
DES SCIENCES
APPLIQUÉES
CENTRE VAL DE LOIRE



Première Partie. **NOTICE PERSONNELLE**

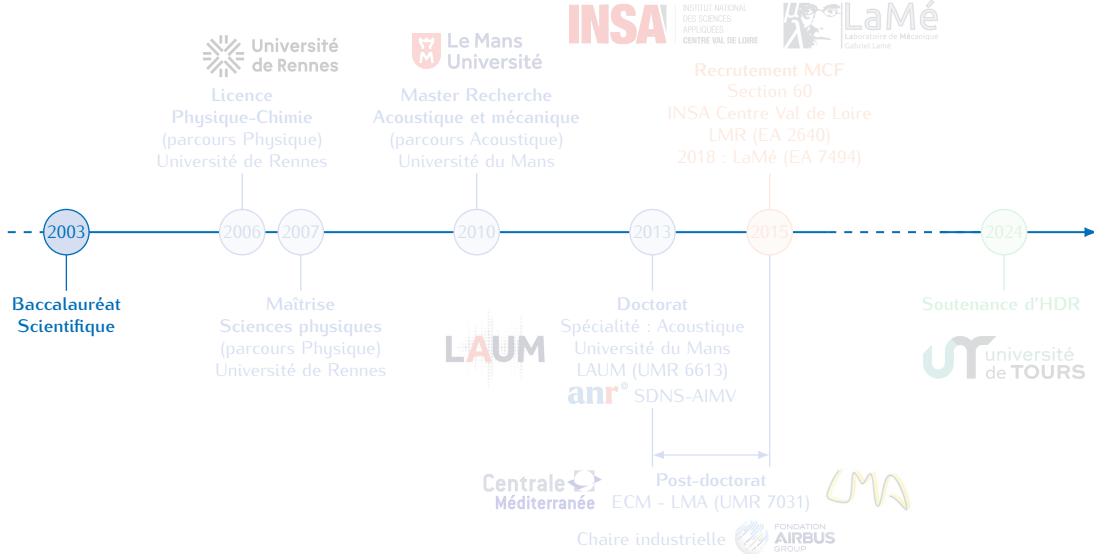
Deuxième Partie. **SYNTHÈSE DES TRAVAUX DE RECHERCHE**

Troisième Partie. **PERSPECTIVES À COURT ET MOYEN TERME**

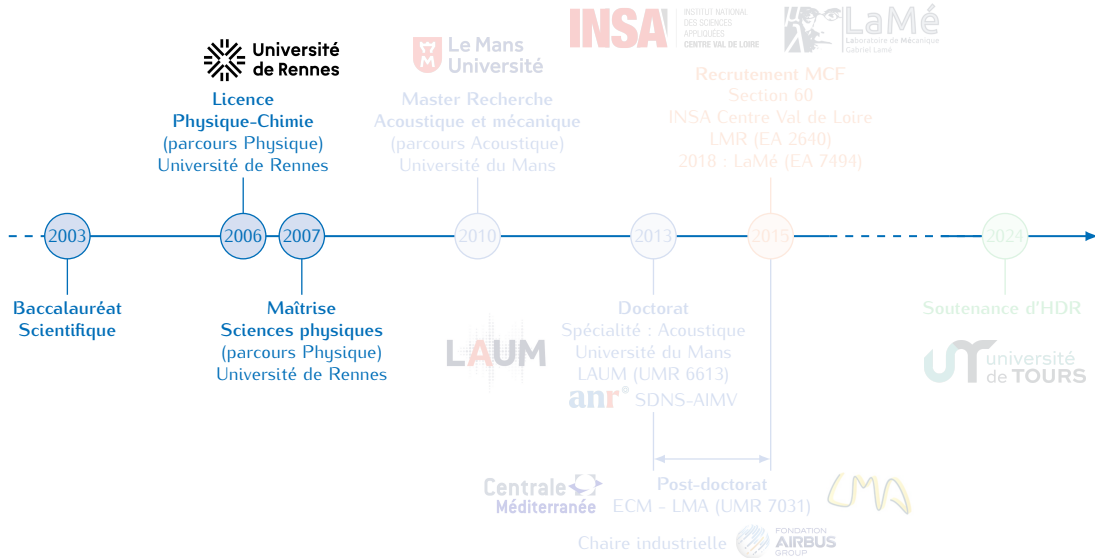
Première partie

NOTICE PERSONNELLE

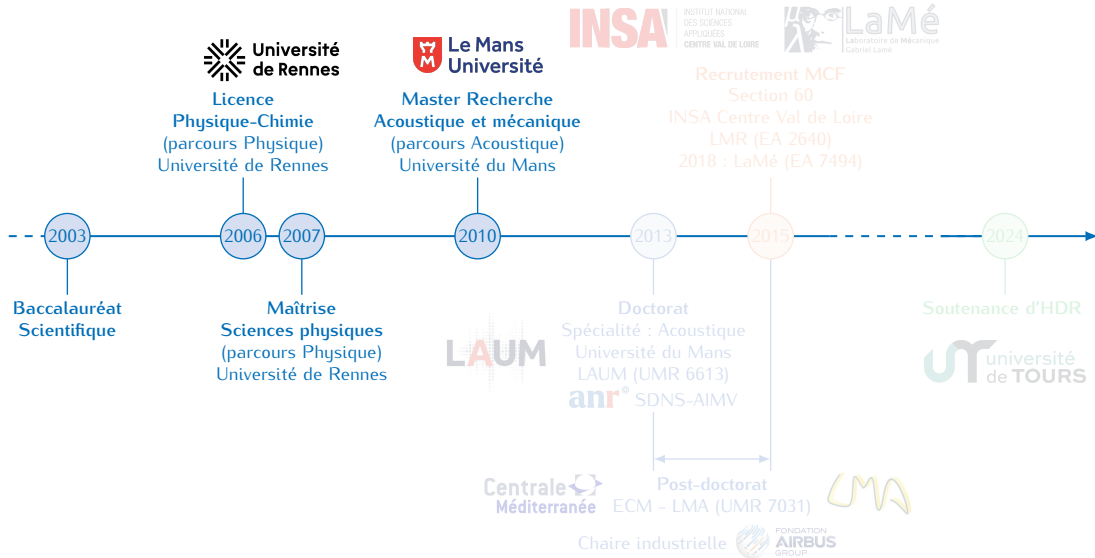
PARCOURS ACADEMIQUE



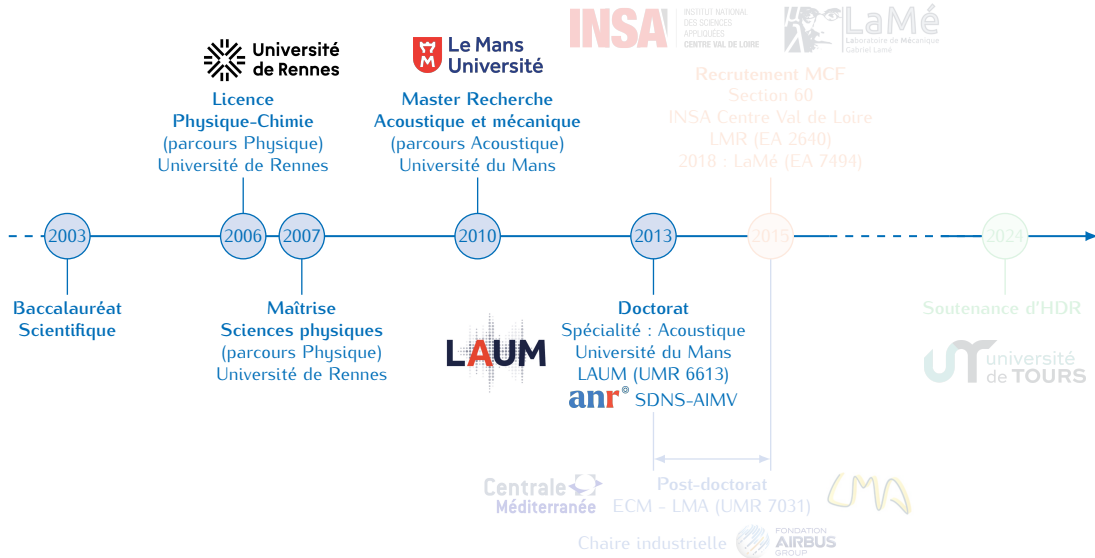
PARCOURS ACADEMIQUE



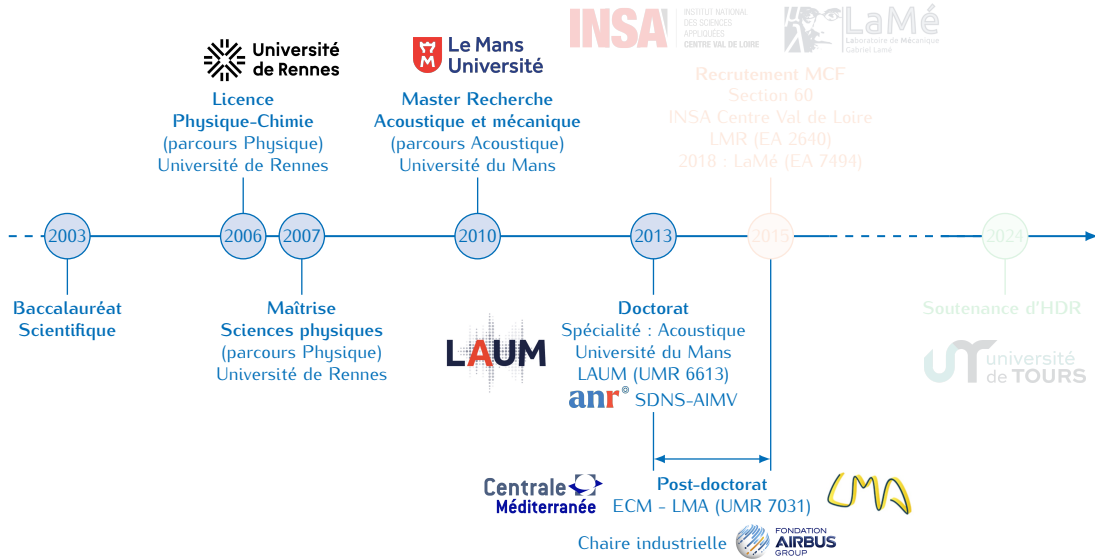
PARCOURS ACADEMIQUE



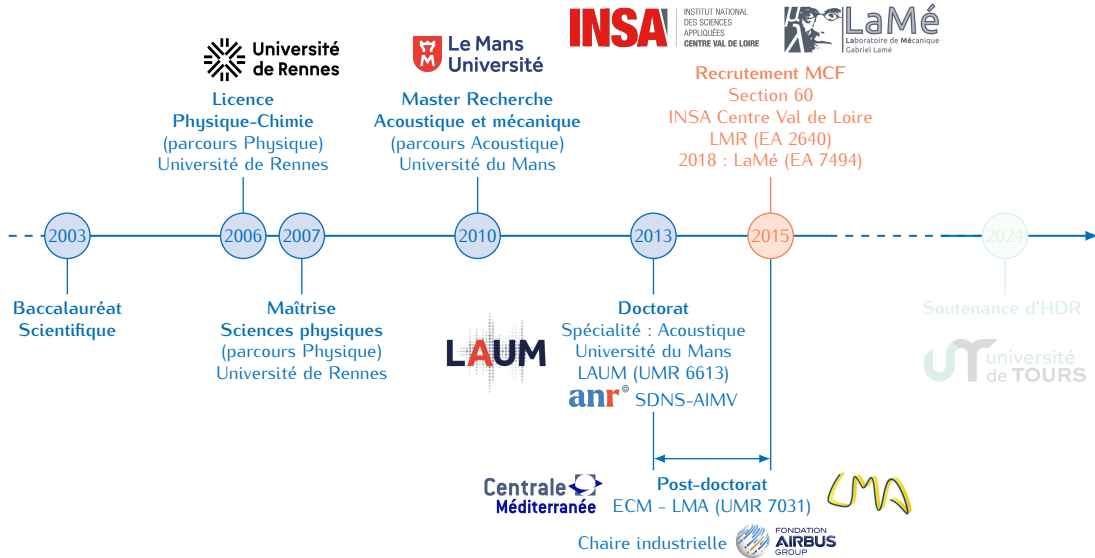
PARCOURS ACADEMIQUE



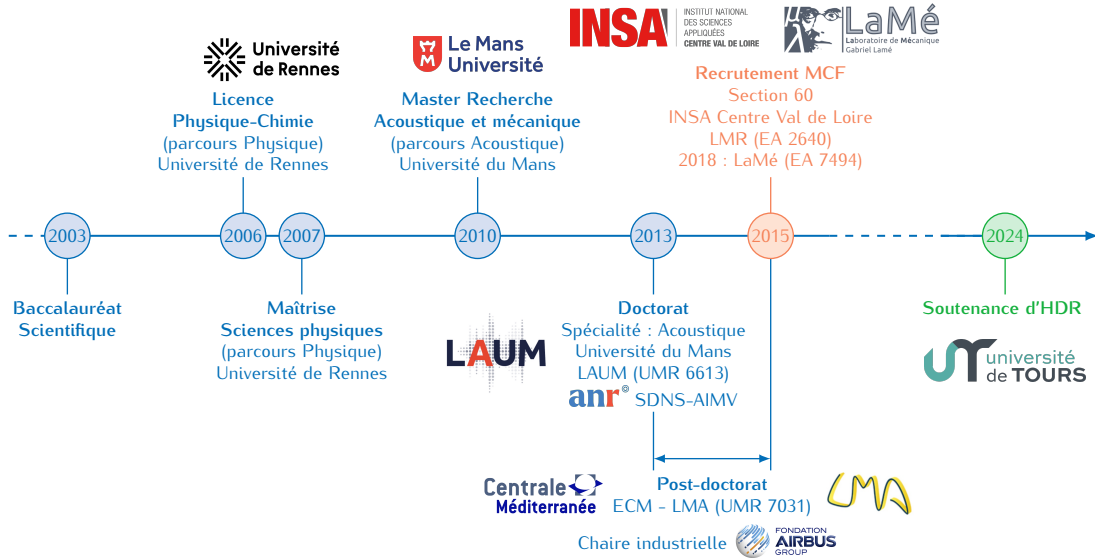
PARCOURS ACADEMIQUE



PARCOURS ACADEMIQUE



PARCOURS ACADEMIQUE



ENCADREMENTS DOCTORAUX ET SCIENTIFIQUES

DOCTORATS

- ① **Duc THINH KIEU** : 1^{er} septembre 2015 - 10 février 2020 (INSA Centre Val de Loire)

« Méthodes de réduction de modèles pour l'analyse du comportement dynamique des structures complexes à paramètres incertains »

Direction : Sébastien BERGER (PU, INSA CVL) et Jean-Mathieu MENCIK (PU, INSA CVL)

Taux d'encadrement : 25 %

- ② **Chérif SNOUN** : 1^{er} octobre 2016 - 16 juillet 2020 (Université de Tours)

« Contrôle passif des vibrations des systèmes mécaniques à l'aide d'absorbeurs dynamiques non linéaires avec prise en compte d'incertitudes paramétriques »

Direction : Sébastien BERGER

Taux d'encadrement : 50 %

- ③ **Israa ZOGHEIB** : 1^{er} novembre 2023 - en cours (Université d'Orléans)

« Comportement dynamique de systèmes mécaniques lents-rapides stochastiques »

Direction : Nils BERGLUND (PU, Univ. Orléans)

Taux d'encadrement : 50 %

STAGES DE MASTER

Encadrements de 7 stages de Master 2 entre 2016 et 2023 :

Ayda HALOUANI, Corentin COUSTHAM, Barthélémy JEANDEL, Joulia SALLOUM, Riccardo GEGA, Joris NGUYEN, Helmi CHAABENE

ENCADREMENTS DOCTORAUX ET SCIENTIFIQUES

DOCTORATS

- ① **Duc THINH KIEU** : 1^{er} septembre 2015 - 10 février 2020 (INSA Centre Val de Loire)

« Méthodes de réduction de modèles pour l'analyse du comportement dynamique des structures complexes à paramètres incertains »

Direction : Sébastien BERGER (PU, INSA CVL) et Jean-Mathieu MENCIK (PU, INSA CVL)

Taux d'encadrement : 25 %

- ② **Chérif SNOUN** : 1^{er} octobre 2016 - 16 juillet 2020 (Université de Tours)

« Contrôle passif des vibrations des systèmes mécaniques à l'aide d'absorbeurs dynamiques non linéaires avec prise en compte d'incertitudes paramétriques »

Direction : Sébastien BERGER

Taux d'encadrement : 50 %

- ③ **Israa ZOGHEIB** : 1^{er} novembre 2023 - en cours (Université d'Orléans)

« Comportement dynamique de systèmes mécaniques lents-rapides stochastiques »

Direction : Nils BERGLUND (PU, Univ. Orléans)

Taux d'encadrement : 50 %

STAGES DE MASTER

Encadrements de 7 stages de Master 2 entre 2016 et 2023 :

Ayda HALOUANI, Corentin COUSTHAM, Barthélémy JEANDEL, Joulia SALLOUM, Riccardo GEGA, Joris NGUYEN, Helmi CHAABENE

ENCADREMENTS DOCTORAUX ET SCIENTIFIQUES

DOCTORATS

- ① **Duc THINH KIEU** : 1^{er} septembre 2015 - 10 février 2020 (INSA Centre Val de Loire)

« Méthodes de réduction de modèles pour l'analyse du comportement dynamique des structures complexes à paramètres incertains »

Direction : Sébastien BERGER (PU, INSA CVL) et Jean-Mathieu MENCIK (PU, INSA CVL)

Taux d'encadrement : 25 %

- ② **Chérif SNOUN** : 1^{er} octobre 2016 - 16 juillet 2020 (Université de Tours)

« Contrôle passif des vibrations des systèmes mécaniques à l'aide d'absorbeurs dynamiques non linéaires avec prise en compte d'incertitudes paramétriques »

Direction : Sébastien BERGER

Taux d'encadrement : 50 %

- ③ **Israa ZOGHEIB** : 1^{er} novembre 2023 - en cours (Université d'Orléans)

« Comportement dynamique de systèmes mécaniques lents-rapides stochastiques »

Direction : Nils BERGLUND (PU, Univ. Orléans)

Taux d'encadrement : 50 %

STAGES DE MASTER

Encadrements de 7 stages de Master 2 entre 2016 et 2023 :

Ayda HALOUANI, Corentin COUSTHAM, Barthélémy JEANDEL, Joulia SALLOUM, Riccardo GEGA, Joris NGUYEN, Helmi CHAABENE

PRODUCTION SCIENTIFIQUES ET RESPONSABILITÉS

PRODUCTION SCIENTIFIQUES

- ▶ **18 Articles** publiés dans des revues internationales avec comités de lecture (ACLI) (+ 2 pré-publications)
- ▶ **12 communications** avec actes dans des congrès internationaux (ACTI)
- ▶ **6 communications** avec actes dans des congrès nationaux (ACTN)

RESPONSABILITÉS SCIENTIFIQUES

- ▶ Membre du Conseil de Laboratoire du LaMé (20 février 2020 - 31 décembre 2023)

RESPONSABILITÉS PÉDAGOGIQUES

- ▶ Référent sur le campus de Blois de l'INSA Centre Val de Loire du Master *mention Mécanique, Génie Civil, Matériaux, Structures* adossé au LaMé (depuis 2018)
- ▶ Responsable de l'option *Ingénierie Mécanique et Conception (IMC)* (depuis 2018)
Option de 5^e année du département *Génie des Systèmes Industriels (GSI)* de l'INSA Centre Val de Loire
- ▶ Responsable des projets de fin d'étude de l'option IMC (depuis 2018)

PRODUCTION SCIENTIFIQUES ET RESPONSABILITÉS

PRODUCTION SCIENTIFIQUES

- ▶ **18 Articles** publiés dans des revues internationales avec comités de lecture (ACLI) (+ 2 pré-publications)
- ▶ **12 communications** avec actes dans des congrès internationaux (ACTI)
- ▶ **6 communications** avec actes dans des congrès nationaux (ACTN)

RESPONSABILITÉS SCIENTIFIQUES

- ▶ Membre du Conseil de Laboratoire du LaMé (20 février 2020 – 31 décembre 2023)

RESPONSABILITÉS PÉDAGOGIQUES

- ▶ Référent sur le campus de Blois de l'INSA Centre Val de Loire du Master *mention Mécanique, Génie Civil, Matériaux, Structures* adossé au LaMé (depuis 2018)
- ▶ Responsable de l'option *Ingénierie Mécanique et Conception (IMC)* (depuis 2018)
Option de 5^e année du département *Génie des Systèmes Industriels (GSI)* de l'INSA Centre Val de Loire
- ▶ Responsable des projets de fin d'étude de l'option IMC (depuis 2018)

PRODUCTION SCIENTIFIQUES ET RESPONSABILITÉS

PRODUCTION SCIENTIFIQUES

- ▶ **18 Articles** publiés dans des revues internationales avec comités de lecture (ACLI) (+ 2 pré-publications)
- ▶ **12 communications** avec actes dans des congrès internationaux (ACTI)
- ▶ **6 communications** avec actes dans des congrès nationaux (ACTN)

RESPONSABILITÉS SCIENTIFIQUES

- ▶ Membre du Conseil de Laboratoire du LaMé (20 février 2020 – 31 décembre 2023)

RESPONSABILITÉS PÉDAGOGIQUES

- ▶ **Référent sur le campus de Blois de l'INSA Centre Val de Loire du Master mention Mécanique, Génie Civil, Matériaux, Structures** adossé au LaMé (depuis 2018)
- ▶ **Responsable de l'option Ingénierie Mécanique et Conception (IMC)** (depuis 2018)
Option de 5^e année du département Génie des Systèmes Industriels (GSI) de l'INSA Centre Val de Loire
- ▶ **Responsable des projets de fin d'étude** de l'option IMC (depuis 2018)

ACTIVITÉS D'ENSEIGNEMENT

- **Domaines :** Mécanique, Vibrations, Acoustique, Matériaux, Conception (niveau Licence et Master)
- **Établissements :** Université de Mans, INSA Centre Val de Loire, Université de Tours

À L'INSA CENTRE VAL DE LOIRE

» Service moyen depuis mon recrutement : 245 HETD



ACTIVITÉS D'ENSEIGNEMENT

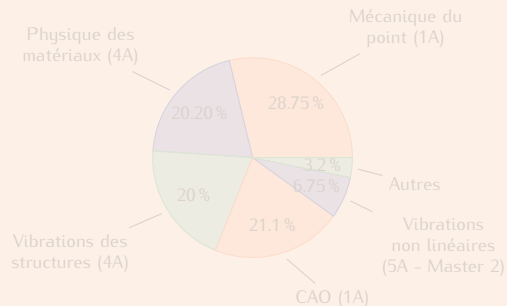
- **Domaines :** Mécanique, Vibrations, Acoustique, Matériaux, Conception (niveau Licence et Master)
- **Établissements :** Université de Mans, INSA Centre Val de Loire, Université de Tours

À L'INSA CENTRE VAL DE LOIRE

- Service moyen depuis mon recrutement : **245 HETD**

- Service année 2022/2023 : 218 HETD

- CM : 18.5 % TD : 48.2 % TP : 33.3 %

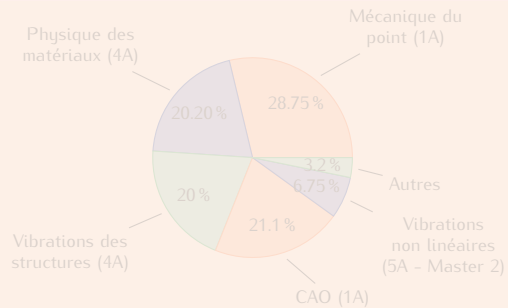


ACTIVITÉS D'ENSEIGNEMENT

- **Domaines :** Mécanique, Vibrations, Acoustique, Matériaux, Conception (niveau Licence et Master)
- **Établissements :** Université de Mans, INSA Centre Val de Loire, Université de Tours

À L'INSA CENTRE VAL DE LOIRE

- Service moyen depuis mon recrutement : **245 HETD**
- Service année 2022/2023 : **218 HETD**
 - CM : **18.5 %**
 - TD : **48.2 %**
 - TP : **33.3 %**

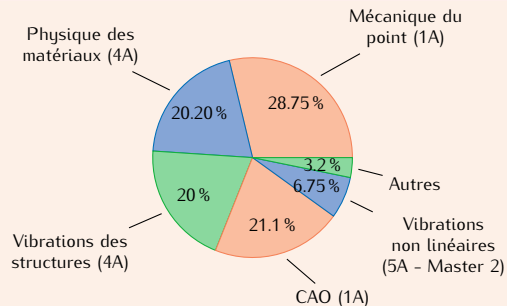


ACTIVITÉS D'ENSEIGNEMENT

- **Domaines :** Mécanique, Vibrations, Acoustique, Matériaux, Conception (niveau Licence et Master)
- **Établissements :** Université de Mans, INSA Centre Val de Loire, Université de Tours

À L'INSA CENTRE VAL DE LOIRE

- Service moyen depuis mon recrutement : **245 HETD**
- Service année 2022/2023 : **218 HETD**
 - CM : **18.5 %** TD : **48.2 %** TP : **33.3 %**



Deuxième partie

SYNTHÈSE DES TRAVAUX DE RECHERCHE

1. INTRODUCTION

2. CONTRÔLE PASSIF NON LINÉAIRE DE VIBRATIONS AUTO-ENTRETENUES

2.1. CONTEXTE ET PRINCIPAUX RÉSULTATS

2.2. RÉSULTAT 1 : LOI D'ÉCHELLE ET NOUVELLE PRÉDICTION DE LA LIMITÉ DE FONCTIONNEMENT

2.3. RÉSULTAT 2 : COMPORTEMENT D'UN OSCILLATEUR AUTO-ENTRETENU CONNECTÉ À UN NES BISTABLE

3. PHÉNOMÈNES TRANSITOIRES DANS LES INSTRUMENTS DE MUSIQUE À ANCHE

3.1. CONTEXTE

3.2. RETARD À LA BIFURCATION

3.3. BASSIN D'ATTRACTION DYNAMIQUE

PLAN

1. INTRODUCTION

2. CONTRÔLE PASSIF NON LINÉAIRE DE VIBRATIONS AUTO-ENTRETENUES

3. PHÉNOMÈNES TRANSITOIRES DANS LES INSTRUMENTS DE MUSIQUE À ANCHE

DÉMARCHE SCIENTIFIQUE ET THÉMATIQUES DE RECHERCHES

PARTI PRIS

Modéliser des systèmes mécaniques complexes (non linéaires, possédant plusieurs échelles de temps caractéristiques et pouvant être stochastiques) au comportement dynamique très riche par des systèmes différentiels simples représentatifs

OBJECTIFS

- Cadre académique : décrire le plus finement possible le comportement des solutions de ces systèmes différentiels simples
- Cadre d'applications technologiques : acquérir de l'intuition pour interpréter des simulations numériques issues de modèles plus raffinés et/ou des résultats expérimentaux

MOYEN PRINCIPAL EMPLOYÉ

Analyse théorique approfondie rendue possible par l'appropriation et la mise en œuvre de résultats théoriques connus des mathématiciens sur les équations différentielles ordinaires singulièrement perturbées (stochastiques)

THÉMATIQUES DE RECHERCHE

- Contrôle passif non linéaire de vibrations auto-entretenues
- Phénomènes transitoires dans les instruments de musique à anche

DÉMARCHE SCIENTIFIQUE ET THÉMATIQUES DE RECHERCHES

PARTI PRIS

Modéliser des systèmes mécaniques complexes (non linéaires, possédant plusieurs échelles de temps caractéristiques et pouvant être stochastiques) au comportement dynamique très riche par des systèmes différentiels simples représentatifs

OBJECTIFS

- ▶ Cadre académique : décrire le plus finement possible le comportement des solutions de ces systèmes différentiels simples
- ▶ Cadre d'applications technologiques : acquérir de l'intuition pour interpréter des simulations numériques issues de modèles plus raffinés et/ou des résultats expérimentaux

MOYEN PRINCIPAL EMPLOYÉ

Analyse théorique approfondie rendue possible par l'appropriation et la mise en œuvre de résultats théoriques connus des mathématiciens sur les équations différentielles ordinaires singulièrement perturbées (stochastiques)

THÉMATIQUES DE RECHERCHE

- ▶ Contrôle passif non linéaire de vibrations auto-entretenues
- ▶ Phénomènes transitoires dans les instruments de musique à anche

DÉMARCHE SCIENTIFIQUE ET THÉMATIQUES DE RECHERCHES

PARTI PRIS

Modéliser des systèmes mécaniques complexes (non linéaires, possédant plusieurs échelles de temps caractéristiques et pouvant être stochastiques) au comportement dynamique très riche par des systèmes différentiels simples représentatifs

OBJECTIFS

- ▶ Cadre académique : décrire le plus finement possible le comportement des solutions de ces systèmes différentiels simples
- ▶ Cadre d'applications technologiques : acquérir de l'intuition pour interpréter des simulations numériques issues de modèles plus raffinés et/ou des résultats expérimentaux

MOYEN PRINCIPAL EMPLOYÉ

Analyse théorique approfondie rendue possible par l'appropriation et la mise en œuvre de résultats théoriques connus des mathématiciens sur les équations différentielles ordinaires singulièrement perturbées (stochastiques)

THÉMATIQUES DE RECHERCHE

- ▶ Contrôle passif non linéaire de vibrations auto-entretenues
- ▶ Phénomènes transitoires dans les instruments de musique à anche

DÉMARCHE SCIENTIFIQUE ET THÉMATIQUES DE RECHERCHES

PARTI PRIS

Modéliser des systèmes mécaniques complexes (non linéaires, possédant plusieurs échelles de temps caractéristiques et pouvant être stochastiques) au comportement dynamique très riche par des systèmes différentiels simples représentatifs

OBJECTIFS

- ▶ Cadre académique : décrire le plus finement possible le comportement des solutions de ces systèmes différentiels simples
- ▶ Cadre d'applications technologiques : acquérir de l'intuition pour interpréter des simulations numériques issues de modèles plus raffinés et/ou des résultats expérimentaux

MOYEN PRINCIPAL EMPLOYÉ

Analyse théorique approfondie rendue possible par l'appropriation et la mise en œuvre de résultats théoriques connus des mathématiciens sur les équations différentielles ordinaires singulièrement perturbées (stochastiques)

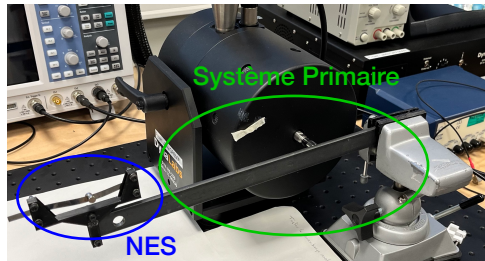
THÉMATIQUES DE RECHERCHE

- ▶ Contrôle passif non linéaire de vibrations auto-entretenues
- ▶ Phénomènes transitoires dans les instruments de musique à anche

LIEN ENTRE LES DEUX THÉMATIQUES

ATTÉNUATION PASSIVE NON LINÉAIRE DE VIBRATIONS

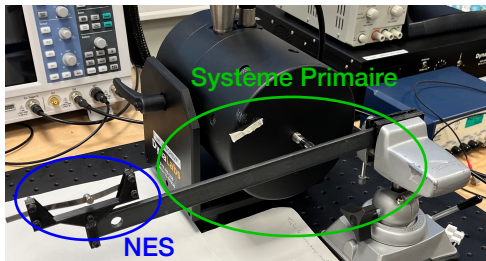
Système mécanique primaire (SP) couplé à un absorbeur dynamique non linéaire (NES)
de faible masse



LIEN ENTRE LES DEUX THÉMATIQUES

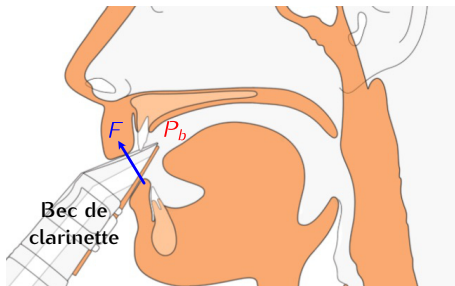
ATTÉNUATION PASSIVE NON LINÉAIRE DE VIBRATIONS

Système mécanique primaire (SP) couplé à un absorbeur dynamique non linéaire (NES)
de faible masse



TRANSITOIRES DANS LES INSTRUMENTS À ANCHE

Instrument de musique à anche dont les paramètres de contrôle (**pression dans la bouche**, **force d'appui de la lèvre**) varient lentement dans le temps



P_b : pression dans la bouche

F : force d'appui de la lèvre sur l'anche

LIEN ENTRE LES DEUX THÉMATIQUES

ATTÉNUATION PASSIVE NON LINÉAIRE DE VIBRATIONS

Système mécanique primaire (SP) couplé à un absorbeur dynamique non linéaire (NES) de faible masse

TRANSITOIRES DANS LES INSTRUMENTS À ANCHE

Instrument de musique à anche dont les paramètres de contrôle (**pression dans la bouche, force d'appui de la lèvre**) varient lentement dans le temps

⇒ **SYSTÈMES DYNAMIQUES RAPIDES-LENTS**

$$\begin{aligned}\dot{x} &= \epsilon f(x, y, \epsilon) \\ \dot{y} &= g(x, y, \epsilon)\end{aligned}$$

ϵ : petit paramètre adimensionné x : variables lentes y : variables rapides

f et g : fonctions représentent la physique du problème

LIEN ENTRE LES DEUX THÉMATIQUES

ATTÉNUATION PASSIVE NON LINÉAIRE DE VIBRATIONS

Système mécanique primaire (SP) couplé à un absorbeur dynamique non linéaire (NES) de faible masse

TRANSITOIRES DANS LES INSTRUMENTS À ANCHE

Instrument de musique à anche dont les paramètres de contrôle (**pression dans la bouche, force d'appui de la lèvre**) varient lentement dans le temps

⇒ **SYSTÈMES DYNAMIQUES RAPIDES-LENTS**

$$\begin{aligned}\dot{x} &= \epsilon f(x, y, \epsilon) \\ \dot{y} &= g(x, y, \epsilon)\end{aligned}$$

ϵ : petit paramètre adimensionné x : variables lentes y : variables rapides
 f et g : fonctions représentent la physique du problème

Analyse à l'aide d'outils mathématiques communs

PLAN

1. INTRODUCTION

2. CONTRÔLE PASSIF NON LINÉAIRE DE VIBRATIONS AUTO-ENTRETIENUES

2.1. CONTEXTE ET PRINCIPAUX RÉSULTATS

2.2. RÉSULTAT 1 : LOI D'ÉCHELLE ET NOUVELLE PRÉDICTION DE LA LIMITÉ DE FONCTIONNEMENT

2.3. RÉSULTAT 2 : COMPORTEMENT D'UN OSCILLATEUR AUTO-ENTRETENU CONNECTÉ À UN NES BISTABLE

3. PHÉNOMÈNES TRANSITOIRES DANS LES INSTRUMENTS DE MUSIQUE À ANCHE

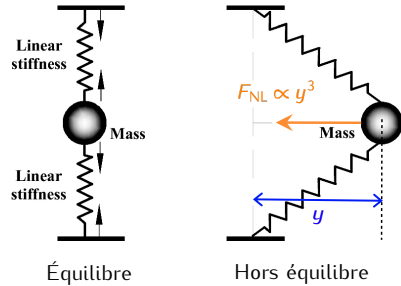
ABSORBEURS DYNAMIQUES NON LINÉAIRES DE TYPE « NES »

- En anglais, *Nonlinear Energy Sink* : **NES**

ABSORBEURS DYNAMIQUES NON LINÉAIRES DE TYPE « NES »

- En anglais, *Nonlinear Energy Sink* : **NES**
- Oscillateurs à raideur fortement non linéaire, **généralement purement cubique** et à amortissement linéaire :

$$\ddot{y} + \mu\dot{y} + \alpha y^3 = 0$$

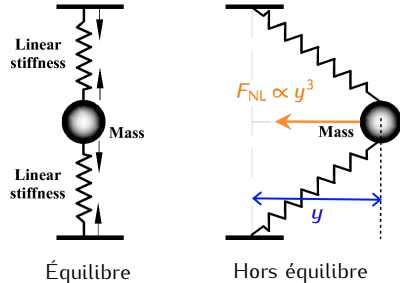


ABSORBEURS DYNAMIQUES NON LINÉAIRES DE TYPE « NES »

- En anglais, *Nonlinear Energy Sink* : **NES**
- Oscillateurs à raideur fortement non linéaire, **généralement purement cubique** et à amortissement linéaire :

$$\ddot{y} + \mu\dot{y} + \alpha y^3 = 0$$

- Couplés à un système primaire (**SP**), ils ont la capacité :
 - d'**adapter leur fréquence** à celle du SP
(relation amplitude/fréquence)
 - d'**absorber l'énergie du SP** de manière **irréversible**
(sous conditions)

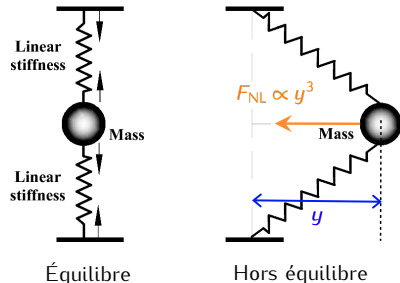


ABSORBEURS DYNAMIQUES NON LINÉAIRES DE TYPE « NES »

- En anglais, *Nonlinear Energy Sink* : **NES**
- Oscillateurs à raideur fortement non linéaire, **généralement purement cubique** et à amortissement linéaire :

$$\ddot{y} + \mu\dot{y} + \alpha y^3 = 0$$

- Couplés à un système primaire (**SP**), ils ont la capacité :
 - d'**adapter leur fréquence** à celle du SP
(relation amplitude/fréquence)
 - d'**absorber l'énergie du SP** de manière **irréversible**
(sous conditions)



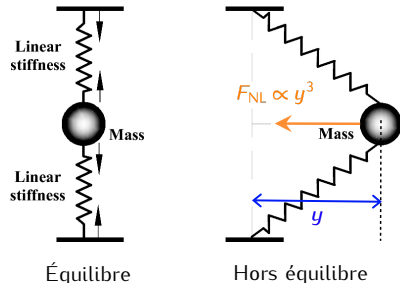
Pompage Énergétique

ABSORBEURS DYNAMIQUES NON LINÉAIRES DE TYPE « NES »

- En anglais, *Nonlinear Energy Sink* : **NES**
- Oscillateurs à raideur fortement non linéaire, **généralement purement cubique** et à amortissement linéaire :

$$\ddot{y} + \mu\dot{y} + \alpha y^3 = 0$$

- Couplés à un système primaire (**SP**), ils ont la capacité :
 - d'**adapter leur fréquence** à celle du SP
(relation amplitude/fréquence)
 - d'**absorber l'énergie du SP** de manière **irréversible**
(sous conditions)



Pompage Énergétique

- Moyen d'**atténuation passif et large-bande de vibrations** de systèmes mécaniques et acoustiques :
 - Vibrations libres
 - Résonances vibratoires
 - **Vibrations auto-entretenues**

OSCILLATIONS AUTO-ENTRETIENUES : OSCILLATEUR DE VAN DER POL (VDP)

OSCILLATIONS AUTO-ENTRETIENUES

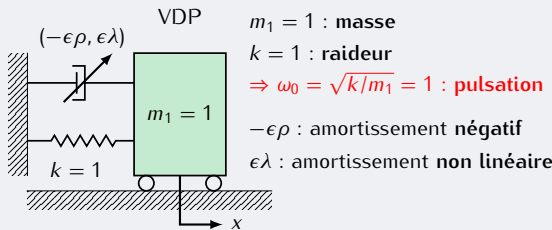
Génération et maintien d'un mouvement oscillant
(**périodique**, **quasi-périodique**, **chaotique**, ...) par une
source d'énergie non oscillante

OSCILLATIONS AUTO-ENTRETIENUES : OSCILLATEUR DE VAN DER POL (VDP)

OSCILLATIONS AUTO-ENTRETIENUES

Génération et maintien d'un mouvement oscillant (périodique, quasi-périodique, chaotique, ...) par une source d'énergie non oscillante

OSCILLATEUR DE VAN DER POL (VDP)



VDP

$m_1 = 1$: masse

$k = 1$: raideur

$\Rightarrow \omega_0 = \sqrt{k/m_1} = 1$: pulsation

$-\epsilon\rho$: amortissement négatif

$\epsilon\lambda$: amortissement non linéaire

$$\ddot{x} - \epsilon\rho\dot{x} + \epsilon\lambda\dot{x}x^2 + x$$

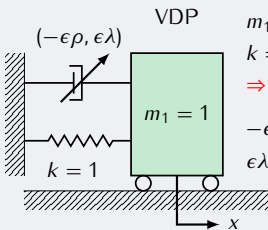
ρ : paramètre de bifurcation

OSCILLATIONS AUTO-ENTRETIENUES : OSCILLATEUR DE VAN DER POL (VDP)

OSCILLATIONS AUTO-ENTRETIENUES

Génération et maintien d'un mouvement oscillant (périodique, quasi-périodique, chaotique, ...) par une source d'énergie non oscillante

OSCILLATEUR DE VAN DER POL (VDP)



VDP

$m_1 = 1$: masse

$k = 1$: raideur

$\Rightarrow \omega_0 = \sqrt{k/m_1} = 1$: pulsation

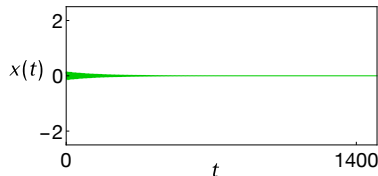
$-\epsilon\rho$: amortissement négatif

$\epsilon\lambda$: amortissement non linéaire

$$\ddot{x} - \epsilon\rho\dot{x} + \epsilon\lambda\dot{x}x^2 + x$$

ρ : paramètre de bifurcation

► $\rho < 0$: Équilibre stable

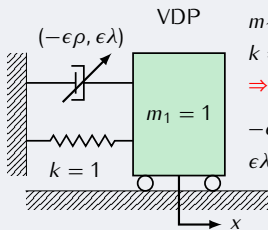


OSCILLATIONS AUTO-ENTRETIENUES : OSCILLATEUR DE VAN DER POL (VDP)

OSCILLATIONS AUTO-ENTRETIENUES

Génération et maintien d'un mouvement oscillant (périodique, quasi-périodique, chaotique, ...) par une source d'énergie non oscillante

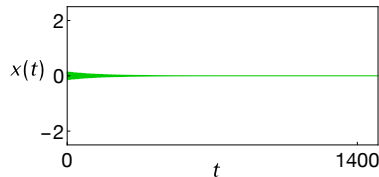
OSCILLATEUR DE VAN DER POL (VDP)



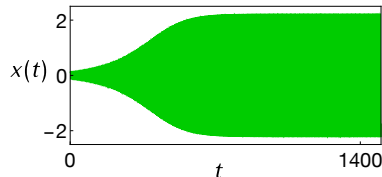
$$\ddot{x} - \epsilon\rho\dot{x} + \epsilon\lambda\dot{x}x^2 + x$$

ρ : paramètre de bifurcation

- $\rho < 0$: Équilibre stable



- $\rho > 0$: Équilibre instable + solution périodique

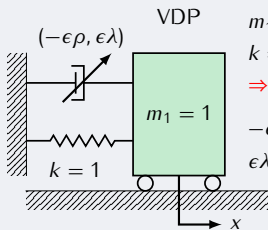


OSCILLATIONS AUTO-ENTRETIENUES : OSCILLATEUR DE VAN DER POL (VDP)

OSCILLATIONS AUTO-ENTRETIENUES

Génération et maintien d'un mouvement oscillant (périodique, quasi-périodique, chaotique, ...) par une source d'énergie non oscillante

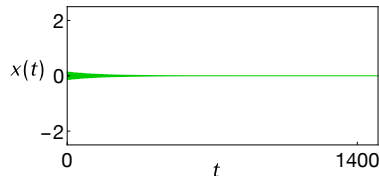
OSCILLATEUR DE VAN DER POL (VDP)



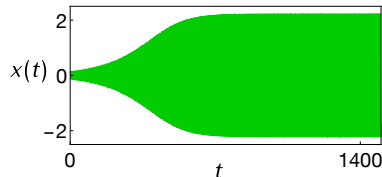
$$\ddot{x} - \epsilon\rho\dot{x} + \epsilon\lambda\dot{x}x^2 + x$$

ρ : paramètre de bifurcation

► $\rho < 0$: Équilibre stable

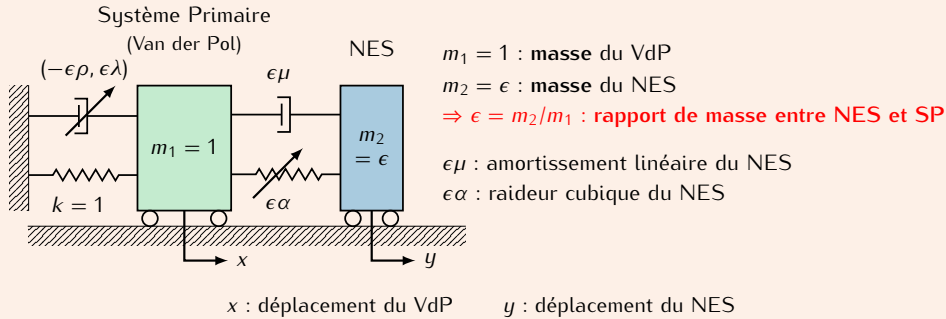


► $\rho > 0$: Équilibre instable + solution périodique

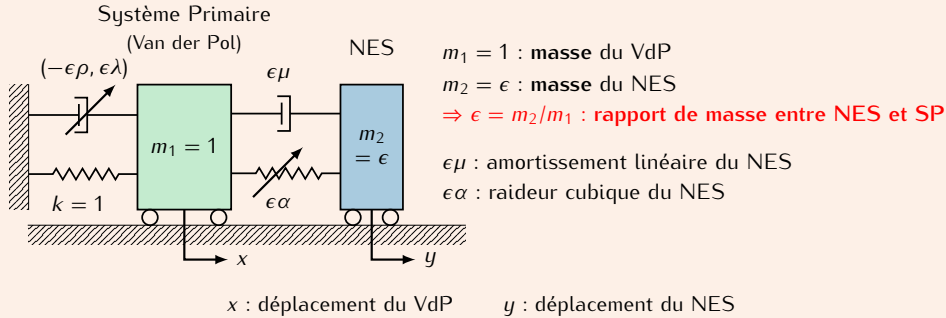


$\rho = 0$: point de bifurcation de Hopf de l'équilibre

OSCILLATEUR DE VAN DER POL COUPLÉ À UN NES



OSCILLATEUR DE VAN DER POL COUPLÉ À UN NES



HYPOTHÈSE ET ÉQUATIONS DU MOUVEMENT ADIMENSIONNÉES

NES léger $\Rightarrow 0 < \epsilon \ll 1$

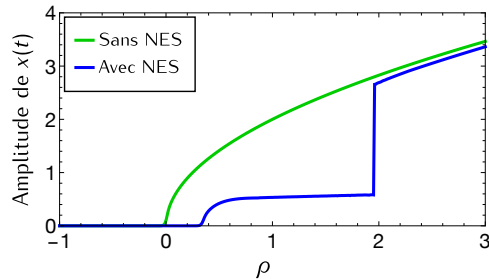
$$\ddot{x} - \epsilon\rho\dot{x} + \epsilon\lambda\dot{x}x^2 + x + \epsilon\mu(\dot{x} - \dot{y}) + \epsilon\alpha(x - y)^3 = 0$$

$$\epsilon\ddot{y} + \epsilon\mu(\dot{x} - \dot{y}) + \epsilon\alpha(x - y)^3 = 0$$

LIMITE DE FONCTIONNEMENT DU NES

DIAGRAMME DE BIFURCATION

Amplitude des solutions stationnaires en fonction du paramètre de bifurcation ρ

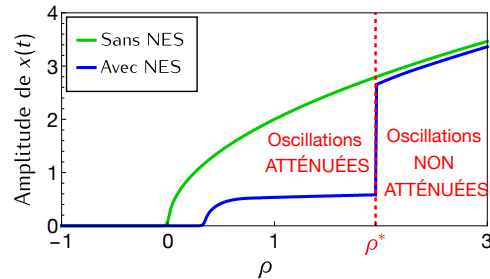


LIMITE DE FONCTIONNEMENT DU NES

DIAGRAMME DE BIFURCATION

Amplitude des solutions stationnaires en fonction du paramètre de bifurcation ρ

ρ^* : limite de fonctionnement

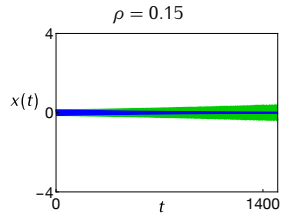
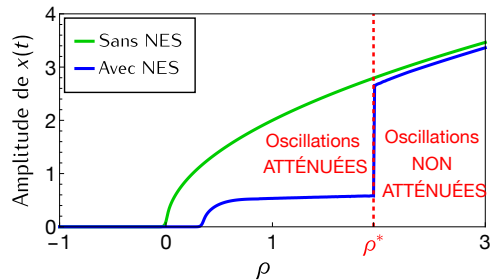


LIMITE DE FONCTIONNEMENT DU NES

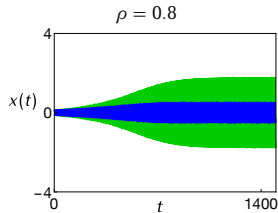
DIAGRAMME DE BIFURCATION

Amplitude des solutions stationnaires en fonction du paramètre de bifurcation ρ

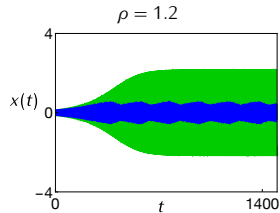
ρ^* : limite de fonctionnement



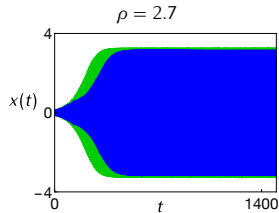
Stabilisation
(effet linéaire)



Régimes périodiques
(effet non linéaire)



Régimes quasi-périodiques
(SMR) (effet non linéaire)



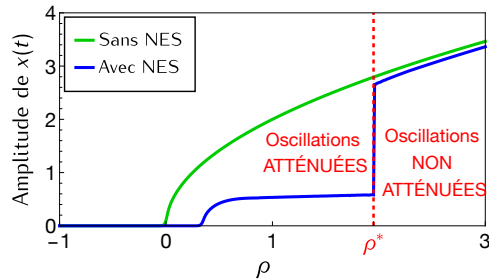
Pas d'atténuation

LIMITE DE FONCTIONNEMENT DU NES

DIAGRAMME DE BIFURCATION

Amplitude des solutions stationnaires en fonction du paramètre de bifurcation ρ

ρ^* : limite de fonctionnement



ANALYSE GLOBALE DE STABILITÉ À L'ORDRE 0 [Gadelman & Bar (2012), Physica D]

Prédiction théorique de la limite de fonctionnement dans le cas limite où $\epsilon = 0$

ÉQUATIONS DE LA DYNAMIQUE MOYENNÉE

- ▶ Changement de variable : x (VDP) et y (NES) \Rightarrow $u = x + \epsilon y$ et $v = x - y$

ÉQUATIONS DE LA DYNAMIQUE MOYENNÉE

► Changement de variable : x (VDP) et y (NES) \Rightarrow $u = x + \epsilon y$ et $v = x - y$

\Rightarrow Hypothèse de résonance interne 1 : 1

$\equiv u$ et v modulés en amplitude et en phase \Rightarrow $u(t) = r(t) \sin(t + \theta_1(t))$ et $v(t) = s(t) \sin(t + \theta_2(t))$

ÉQUATIONS DE LA DYNAMIQUE MOYENNÉE

- ▶ Changement de variable : x (VDP) et y (NES) \Rightarrow $u = x + \epsilon y$ et $v = x - y$

\Rightarrow Hypothèse de résonance interne 1 : 1

$\equiv u$ et v modulés en amplitude et en phase \Rightarrow $u(t) = r(t) \sin(t + \theta_1(t))$ et $v(t) = s(t) \sin(t + \theta_2(t))$

↪ Obtention du FLOT DE MODULATION par une méthode de moyennisation :

$$\dot{r} = \epsilon f(r, s, \Delta)$$

$$\dot{s} = g_1(r, s, \Delta, \epsilon)$$

$$\dot{\Delta} = g_2(r, s, \Delta, \epsilon)$$

r et s : amplitudes de u et v

$\Delta = \theta_1 - \theta_2$: différence de phase entre u et v

ÉQUATIONS DE LA DYNAMIQUE MOYENNÉE

- ▶ Changement de variable : x (VDP) et y (NES) \Rightarrow $u = x + \epsilon y$ et $v = x - y$

\Rightarrow Hypothèse de résonance interne 1 : 1

$\equiv u$ et v modulés en amplitude et en phase \Rightarrow $u(t) = r(t) \sin(t + \theta_1(t))$ et $v(t) = s(t) \sin(t + \theta_2(t))$

→ Obtention du FLOT DE MODULATION par une méthode de moyennisation :

$$\dot{r} = \epsilon f(r, s, \Delta)$$

$$\dot{s} = g_1(r, s, \Delta, \epsilon)$$

$$\dot{\Delta} = g_2(r, s, \Delta, \epsilon)$$

r et s : amplitudes de u et v

$\Delta = \theta_1 - \theta_2$: différence de phase entre u et v

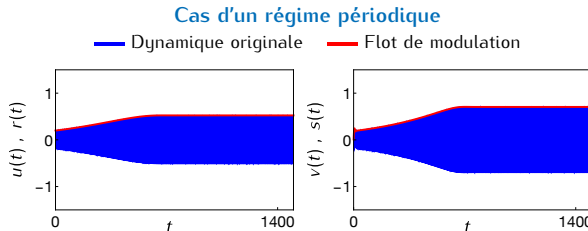
Dynamique originale :

\equiv

Flot de modulation :

Régime périodique

Équilibre (non nul)



ÉQUATIONS DE LA DYNAMIQUE MOYENNÉE

- ▶ Changement de variable : x (VDP) et y (NES) \Rightarrow $u = x + \epsilon y$ et $v = x - y$

\Rightarrow Hypothèse de résonance interne 1 : 1

$\equiv u$ et v modulés en amplitude et en phase \Rightarrow $u(t) = r(t) \sin(t + \theta_1(t))$ et $v(t) = s(t) \sin(t + \theta_2(t))$

→ Obtention du FLOT DE MODULATION par une méthode de moyennisation :

$$\dot{r} = \epsilon f(r, s, \Delta)$$

$$\dot{s} = g_1(r, s, \Delta, \epsilon)$$

$$\dot{\Delta} = g_2(r, s, \Delta, \epsilon)$$

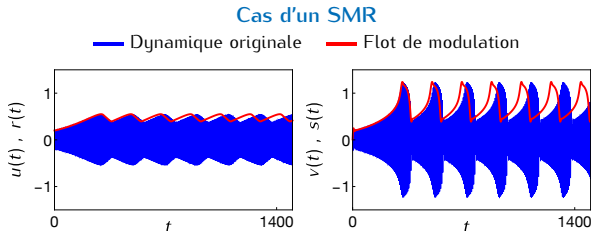
r et s : amplitudes de u et v

$\Delta = \theta_1 - \theta_2$: différence de phase entre u et v

Dynamique
originale :
SMR

\equiv

Flot de
modulation :
Régime périodique



ÉQUATIONS DE LA DYNAMIQUE MOYENNÉE

- ▶ Changement de variable : x (VDP) et y (NES) \Rightarrow $u = x + \epsilon y$ et $v = x - y$

\Rightarrow Hypothèse de résonance interne 1 : 1

$\equiv u$ et v modulés en amplitude et en phase \Rightarrow $u(t) = r(t) \sin(t + \theta_1(t))$ et $v(t) = s(t) \sin(t + \theta_2(t))$

→ Obtention du FLOT DE MODULATION par une méthode de moyennisation :

$$\dot{r} = \epsilon f(r, s, \Delta)$$

$$\dot{s} = g_1(r, s, \Delta, \epsilon)$$

$$\dot{\Delta} = g_2(r, s, \Delta, \epsilon)$$

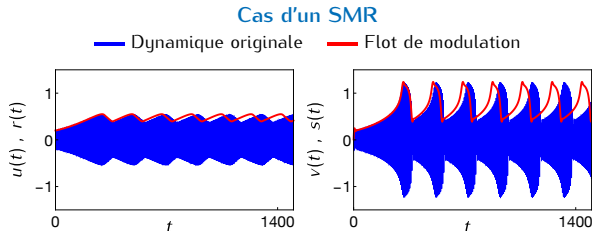
r et s : amplitudes de u et v

$\Delta = \theta_1 - \theta_2$: différence de phase entre u et v

Dynamique originale :
SMR

\equiv

Flot de modulation :
Régime périodique



Flot de modulation \equiv système rapide-lent : 2 variables rapides s et Δ et 1 variable lente r

\Rightarrow Le profil temporel des variables d'état = succession de phases rapides et de phases lentes

ANALYSE À L'ORDRE 0 DU FLOT DE MODULATION

FLOT DE MODULATION \equiv SYSTÈME LENT-RAPIDE

- ▶ Le profil temporel des variables du flot de modulation possède des **phases rapides** et des **phases lentes**
- ▶ Analyse théorique :
 - [Gadelman & Bar (2012), Physica D] : méthode des **échelles de temps multiples**
 - [Bergeot *et al.* (2016), Int J Non Linear Mech] : **Approche Géométrique des Perturbations Singulières (AGPS)**

ANALYSE À L'ORDRE 0 DU FLOT DE MODULATION

FLOT DE MODULATION ≡ SYSTÈME LENT-RAPIDE

- ▶ Le profil temporel des variables du **flot de modulation** possède des **phases rapides** et des **phases lentes**
- ▶ Analyse théorique :
 - [Gadelman & Bar (2012), Physica D] : méthode des **échelles de temps multiples**
 - [Bergeot *et al.* (2016), Int J Non Linear Mech] : **Approche Géométrique des Perturbations Singulières (AGPS)**

Flot de modulation
à l'**échelle de temps rapide t**

$$\dot{r} = \epsilon f(r, s, \Delta)$$

$$\dot{s} = g_1(r, s, \Delta, \epsilon)$$

$$\dot{\Delta} = g_2(r, s, \Delta, \epsilon)$$

Flot de modulation
à l'**échelle de temps lente $\tau = \epsilon t$**

$$r' = f(r, s, \Delta)$$

$$\epsilon s' = g_1(r, s, \Delta, \epsilon)$$

$$\epsilon \Delta' = g_2(r, s, \Delta, \epsilon)$$

ANALYSE À L'ORDRE 0 DU FLOT DE MODULATION

FLOT DE MODULATION \equiv SYSTÈME LENT-RAPIDE

- ▶ Le profil temporel des variables du **fot de modulation** possède des **phases rapides** et des **phases lentes**
- ▶ Analyse théorique :
 - [Gadelman & Bar (2012), Physica D] : méthode des **échelles de temps multiples**
 - [Bergeot *et al.* (2016), Int J Non Linear Mech] : **Approche Géométrique des Perturbations Singulières (AGPS)**

Flot de modulation
à l'**échelle de temps rapide t**

$$\dot{r} = \epsilon f(r, s, \Delta)$$

$$\dot{s} = g_1(r, s, \Delta, \epsilon)$$

$$\dot{\Delta} = g_2(r, s, \Delta, \epsilon)$$

$$\begin{aligned}\dot{r} &= 0 \\ \dot{s} &= g_1(r, s, \Delta, 0) \\ \dot{\Delta} &= g_2(r, s, \Delta, 0)\end{aligned}$$

→ **sous-système rapide**
décrit les phases rapides

Flot de modulation
à l'**échelle de temps lente $\tau = \epsilon t$**

$$r' = f(r, s, \Delta)$$

$$\epsilon s' = g_1(r, s, \Delta, \epsilon)$$

$$\epsilon \Delta' = g_2(r, s, \Delta, \epsilon)$$

$$\begin{aligned}r' &= f(r, s, \Delta) \\ 0 &= g_1(r, s, \Delta, 0) \\ 0 &= g_2(r, s, \Delta, 0)\end{aligned}$$

→ **sous-système lent**
décrit les phases lentes

On pose $\epsilon = 0$

Singulièrement perturbé

ANALYSE À L'ORDRE 0 DU FLOT DE MODULATION

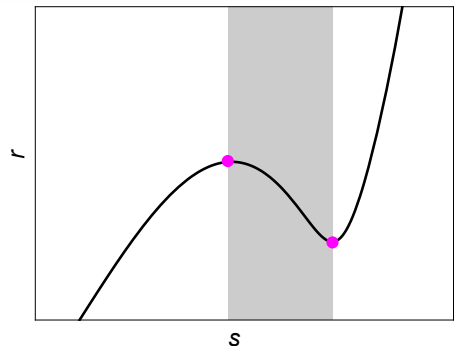
VARIÉTÉ CRITIQUE (VC)

$$\mathcal{M}_0 = \left\{ (r, s, \Delta) \mid g_1(r, s, \Delta, 0) = 0, g_2(r, s, \Delta, 0) = 0 \right\}$$

$$r = H(s)$$

$$\text{et} \quad \Delta = G(s)$$

FIGURE. — $r = H(s)$



ANALYSE À L'ORDRE 0 DU FLOT DE MODULATION

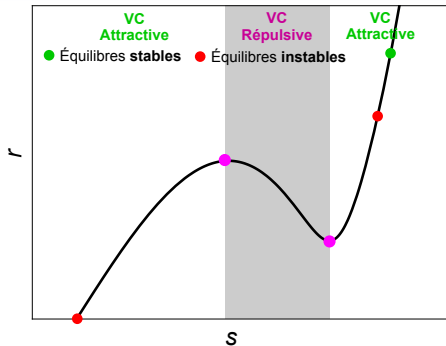
VARIÉTÉ CRITIQUE (VC)

$$\mathcal{M}_0 = \left\{ (r, s, \Delta) \mid g_1(r, s, \Delta, 0) = 0, g_2(r, s, \Delta, 0) = 0 \right\}$$

$$r = H(s)$$

$$\text{et} \quad \Delta = G(s)$$

FIGURE. — $r = H(s)$



ÉTUDE DU SOUS-SYSTÈME RAPIDE : Stabilité de $\mathcal{M}_0 \Rightarrow$ 2 branches attractives et 1 branche répulsive

ÉTUDE DU SOUS-SYSTÈME LENT : Équilibres (sur \mathcal{M}_0) \Rightarrow • Équilibres stables • Équilibres instables

ANALYSE À L'ORDRE 0 DU FLOT DE MODULATION

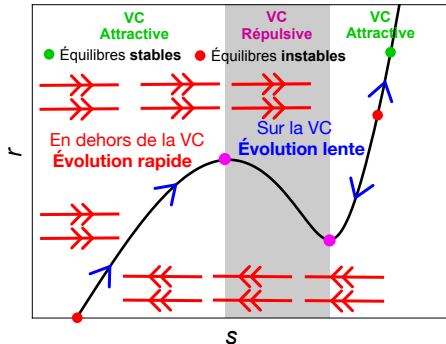
VARIÉTÉ CRITIQUE (VC)

$$\mathcal{M}_0 = \left\{ (r, s, \Delta) \mid g_1(r, s, \Delta, 0) = 0, g_2(r, s, \Delta, 0) = 0 \right\}$$

$$r = H(s)$$

$$\text{et} \quad \Delta = G(s)$$

FIGURE. — $r = H(s)$



ÉTUDE DU SOUS-SYSTÈME RAPIDE : Stabilité de $\mathcal{M}_0 \Rightarrow$ 2 branches attractives et 1 branche répulsive

ÉTUDE DU SOUS-SYSTÈME LENT : Équilibres (sur \mathcal{M}_0) \Rightarrow • Équilibres stables • Équilibres instables

Comportement asymptotique (quand $\epsilon \rightarrow 0$) du flux de modulation :

- ▶ Pendant les phases rapides : **trajectoires horizontales + en dehors de \mathcal{M}_0 vers une branche attractive**
- ▶ Pendant les phases lentes : **sur une branche attractive de \mathcal{M}_0 vers un équilibre stable ou en s'éloignant d'un équilibre instable du sous-système lent**

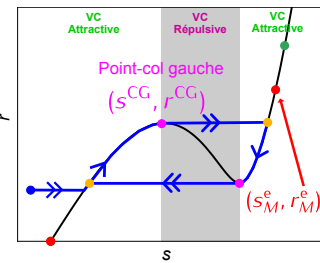
ANALYSE À L'ORDRE 0 DU FLOT DE MODULATION

ANALYSE DE STABILITÉ GLOBALE : PRÉDICTION DE LA LIMITÉ DE FONCTIONNEMENT

- Condition initiale
- Équilibres stables
- Équilibres instables
- Points-col
- Points d'arrivée à l'ordre 0

Dynamique originale : SMR

Flot de modulation : Oscil. de relaxation



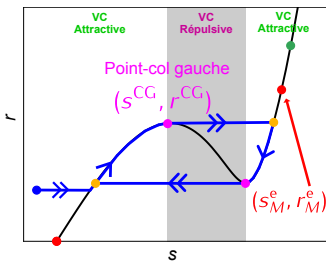
ANALYSE À L'ORDRE 0 DU FLOT DE MODULATION

ANALYSE DE STABILITÉ GLOBALE : PRÉDICTION DE LA LIMITÉ DE FONCTIONNEMENT

- Condition initiale
- Équilibres stables
- Équilibres instables
- Points-col
- Points d'arrivée à l'ordre 0

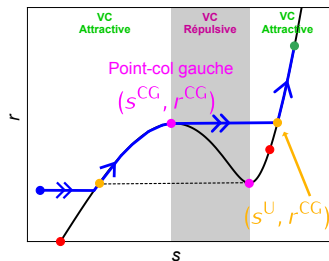
Dynamique originale : SMR

Flot de modulation : Oscil. de relaxation



Dynamique originale : Pas d'atténuation

Flot de modulation : Équilibre stable



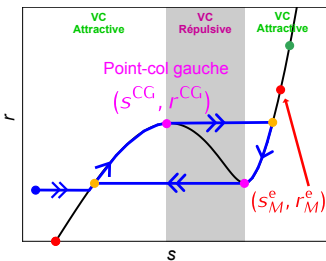
ANALYSE À L'ORDRE 0 DU FLOT DE MODULATION

ANALYSE DE STABILITÉ GLOBALE : PRÉDICTION DE LA LIMITÉ DE FONCTIONNEMENT

- Condition initiale
- Équilibres stables
- Équilibres instables
- Points-col
- Points d'arrivée à l'ordre 0

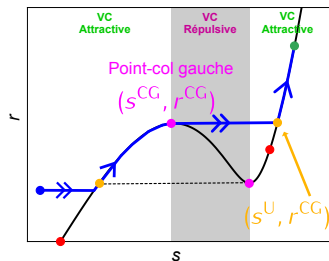
Dynamique originale : SMR

Flot de modulation : Oscil. de relaxation



Dynamique originale : Pas d'atténuation

Flot de modulation : Équilibre stable



ESTIMATION DU POINT D'ARRIVÉ

$$(s^a, r^a) = (s^U, r^{CG})$$

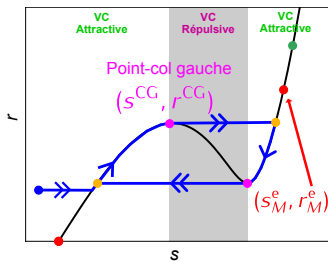
ANALYSE À L'ORDRE 0 DU FLOT DE MODULATION

ANALYSE DE STABILITÉ GLOBALE : PRÉDICTION DE LA LIMITÉ DE FONCTIONNEMENT

- Condition initiale
- Équilibres stables
- Équilibres instables
- Points-col
- Points d'arrivée à l'ordre 0

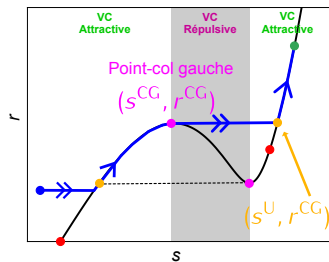
Dynamique originale : SMR

Flot de modulation : Oscil. de relaxation



Dynamique originale : Pas d'atténuation

Flot de modulation : Équilibre stable



ESTIMATION DU POINT D'ARRIVÉ

$$(s^a, r^a) = (s_M^U, r_M^{CG})$$

LIMITÉ DE FONCTIONNEMENT THÉORIQUE (À L'ORDRE 0)

Valeur du paramètre de bifurcation ρ (notée ρ_0^*) solution de :

$$r_M^e = r^a = r^{CG}$$

⇒ Expression analytique de ρ_0^*

PRINCIPAUX RÉSULTATS

DESCRIPTION DU COMPORTEMENT DYNAMIQUE PAR L'AGPS

► Analyse à l'ordre 0

- SP 1 DDL (VdP) + M NES en parallèle [Bergeot & Bellizzi (2018), Nonlinear Dyn]
- SP N DDL (avec 1 mode instable) + M NES [Bergeot & Bellizzi (2019), Mech Syst Sig Process]
- SP N DDL (avec 2 modes instables) + 1 NES [Bergeot *et al.* (2020), Commun Nonlinear Sci Numer Simul]
- **SP 1 DDL (VdP) + 1 NES bistable (BNES)** [Bergeot & Berger (2024), Physica D]

► Analyse à l'ordre ϵ

- **SP N DDL + 1 NES** [Bergeot (2021), J Sound Vib]

PRISE EN COMPTE DE STOCHASTICITÉ

► SP + NES à paramètres incertains [Snoun *et al.* (2021)(2022), Eur J Mech A Solids]

⇒ Calcul de la propension à être dans un régime d'atténuation par des méthodes basées sur le chaos polynomial

⇒ Optimisation de NES sous incertitudes paramétriques

► SP 1 DDL (VdP) forcé par un faible bruit blanc + 1 NES [Bergeot (2023), Int. J. Non Linear Mech.]

Moyennisation stochastique + méthode de Monte Carlo :

⇒ Effet d'un forçage stochastique faible sur le phénomène de pompage énergétique

⇒ Le bruit favorise les régimes de non atténuation

PRINCIPAUX RÉSULTATS

DESCRIPTION DU COMPORTEMENT DYNAMIQUE PAR L'AGPS

► Analyse à l'ordre 0

- SP 1 DDL (VdP) + M NES en parallèle [Bergeot & Bellizzi (2018), Nonlinear Dyn]
- SP N DDL (avec 1 mode instable) + M NES [Bergeot & Bellizzi (2019), Mech Syst Sig Process]
- SP N DDL (avec 2 modes instables) + 1 NES [Bergeot *et al.* (2020), Commun Nonlinear Sci Numer Simul]
- **SP 1 DDL (VdP) + 1 NES bistable (BNES)** [Bergeot & Berger (2024), Physica D]

► Analyse à l'ordre ϵ

- **SP N DDL + 1 NES** [Bergeot (2021), J Sound Vib]

PRISE EN COMPTE DE STOCHASTICITÉ

► SP + NES à paramètres incertains [Snoun *et al.* (2021)(2022), Eur J Mech A Solids]

⇒ Calcul de la propension à être dans un régime d'atténuation par des méthodes basées sur le chaos polynomial

⇒ Optimisation de NES sous incertitudes paramétriques

► SP 1 DDL (VdP) forcé par un faible bruit blanc + 1 NES [Bergeot (2023), Int J Non Linear Mech]

Moyennisation stochastique + méthode de Monte Carlo :

⇒ Effet d'un forçage stochastique faible sur le phénomène de pompage énergétique

⇒ Le bruit favorise les régimes de non atténuation

PRINCIPAUX RÉSULTATS

DESCRIPTION DU COMPORTEMENT DYNAMIQUE PAR L'AGPS

► Analyse à l'ordre 0

- SP 1 DDL (VdP) + M NES en parallèle [Bergeot & Bellizzi (2018), Nonlinear Dyn]
- SP N DDL (avec 1 mode instable) + M NES [Bergeot & Bellizzi (2019), Mech Syst Sig Process]
- SP N DDL (avec 2 modes instables) + 1 NES [Bergeot *et al.* (2020), Commun Nonlinear Sci Numer Simul]
- **SP 1 DDL (VdP) + 1 NES bistable (BNES)** [Bergeot & Berger (2024), Physica D]

► Analyse à l'ordre ϵ

- **SP N DDL + 1 NES** [Bergeot (2021), J Sound Vib]

PRISE EN COMPTE DE STOCHASTICITÉ

► SP + NES à paramètres incertains [Snoun *et al.* (2021)(2022), Eur J Mech A Solids]

⇒ Calcul de la propension à être dans un régime d'atténuation par des méthodes basées sur le chaos polynomial

⇒ Optimisation de NES sous incertitudes paramétriques

► SP 1 DDL (VdP) forcé par un faible bruit blanc + 1 NES [Bergeot (2023), Int J Non Linear Mech]

Moyennisation stochastique + méthode de Monte Carlo :

⇒ Effet d'un forçage stochastique faible sur le phénomène de pompage énergétique

⇒ **Le bruit favorise les régimes de non atténuation**

PRINCIPAUX RÉSULTATS

DESCRIPTION DU COMPORTEMENT DYNAMIQUE PAR L'AGPS

► Analyse à l'ordre 0

- SP 1 DDL (VdP) + M NES en parallèle [Bergeot & Bellizzi (2018), Nonlinear Dyn]
- SP N DDL (avec 1 mode instable) + M NES [Bergeot & Bellizzi (2019), Mech Syst Sig Process]
- SP N DDL (avec 2 modes instables) + 1 NES [Bergeot *et al.* (2020), Commun Nonlinear Sci Numer Simul]
- **RÉSULTAT 2 : SP 1 DDL (VdP) + 1 NES bistable (BNES)** [Bergeot & Berger (2024), Physica D]

► Analyse à l'ordre ϵ

- **RÉSULTAT 1 : SP $N = 1$ DDL (VdP) + 1 NES** [Bergeot (2021), J Sound Vib]

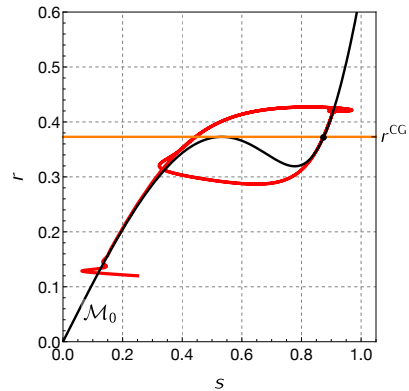
PRISE EN COMPTE DE STOCHASTICITÉ

- SP + NES à paramètres incertains [Snoun *et al.* (2021)(2022), Eur J Mech A Solids]
 - ⇒ Calcul de la propension à être dans un régime d'atténuation par des méthodes basées sur le chaos polynomial
 - ⇒ Optimisation de NES sous incertitudes paramétriques
- SP 1 DDL (VdP) forcé par un faible bruit blanc + 1 NES [Bergeot (2023), Int J Non Linear Mech]
 - Moyennisation stochastique + méthode de Monte Carlo :
 - ⇒ Effet d'un forçage stochastique faible sur le phénomène de pompage énergétique
 - ⇒ Le bruit favorise les régimes de non atténuation

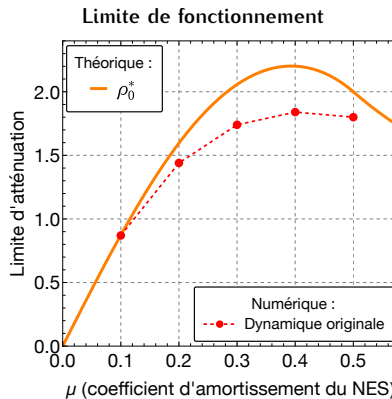
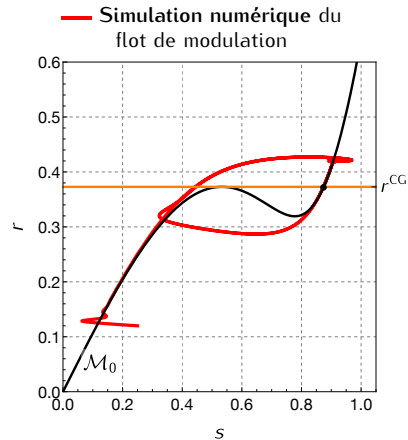
LIMITATIONS DE L'ANALYSE À L'ORDRE 0 - COMPARAISON THÉORIE/NUMÉRIQUE POUR

 $\epsilon = 0.015$

— Simulation numérique du
flot de modulation

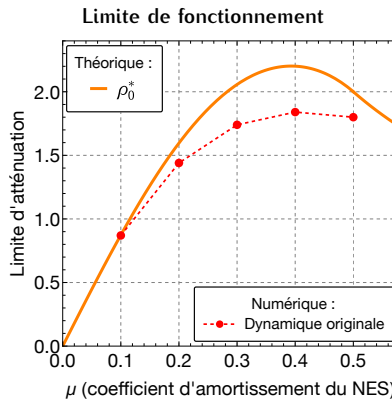
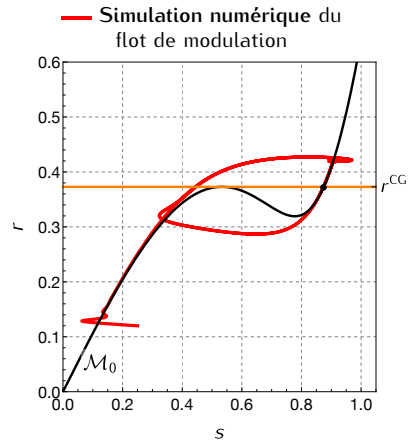


LIMITATIONS DE L'ANALYSE À L'ORDRE 0 - COMPARAISON THÉORIE/NUMÉRIQUE POUR $\epsilon = 0.015$



► Pour les « grandes » valeurs de ϵ : Sous-estimation du point d'arrivée ⇒ Surestimation de la limite de fonctionnement

LIMITATIONS DE L'ANALYSE À L'ORDRE 0 - COMPARAISON THÉORIE/NUMÉRIQUE POUR $\epsilon = 0.015$



- ▶ Pour les « grandes » valeurs de ϵ : Sous-estimation du point d'arrivée ⇒ Surestimation de la limite de fonctionnement
- ▶ Pas de description de l'évolution de la limite de fonctionnement en fonction de ϵ

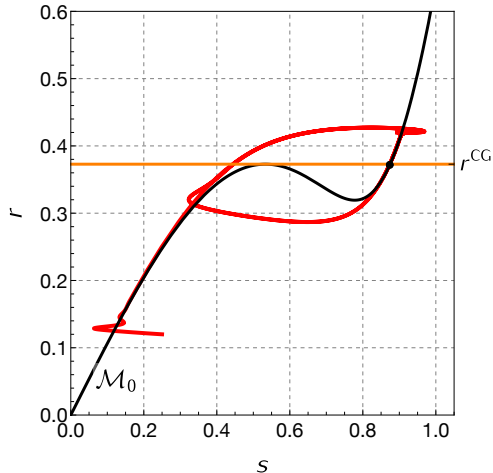
RÉDUCTION À LA VARIÉTÉ CENTRALE AU NIVEAU DU POINT-COL GAUCHE DE LA VARIÉTÉ CRITIQUE

LOI D'ÉCHELLE

Expression analytique de s en fonction r et ϵ :

$$s^*(r, \epsilon) = s^{CG} + \epsilon^{1/3} K_1 \frac{\text{Ai}'(-\epsilon^{-2/3} K_2(r - r^{CG}))}{\text{Ai}(-\epsilon^{-2/3} K_2(r - r^{CG}))}$$

- ▶ K_1 et K_2 : constantes dépendant des paramètres du modèle
- ▶ Ai et Ai' : fonction d'Airy et sa dérivée



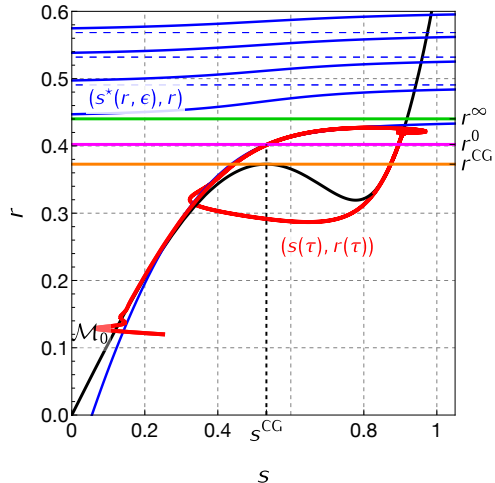
RÉDUCTION À LA VARIÉTÉ CENTRALE AU NIVEAU DU POINT-COL GAUCHE DE LA VARIÉTÉ CRITIQUE

LOI D'ÉCHELLE

Expression analytique de s en fonction r et ϵ :

$$s^*(r, \epsilon) = s^{CG} + \epsilon^{1/3} K_1 \frac{\text{Ai}'(-\epsilon^{-2/3} K_2(r - r^{CG}))}{\text{Ai}(-\epsilon^{-2/3} K_2(r - r^{CG}))}$$

- ▶ K_1 et K_2 : constantes dépendant des paramètres du modèle
- ▶ Ai et Ai' : fonction d'Airy et sa dérivée



RÉDUCTION À LA VARIÉTÉ CENTRALE AU NIVEAU DU POINT-COL GAUCHE DE LA VARIÉTÉ CRITIQUE

LOI D'ÉCHELLE

Expression analytique de s en fonction r et ϵ :

$$s^*(r, \epsilon) = s^{CG} + \epsilon^{1/3} K_1 \frac{\text{Ai}'(-\epsilon^{-2/3} K_2(r - r^{CG}))}{\text{Ai}(-\epsilon^{-2/3} K_2(r - r^{CG}))}$$

- ▶ K_1 et K_2 : constantes dépendant des paramètres du modèle
- ▶ Ai et Ai' : fonction d'Airy et sa dérivée

NOUVELLE ESTIMATION DU POINT D'ARRIVÉE (s^A, r^A)

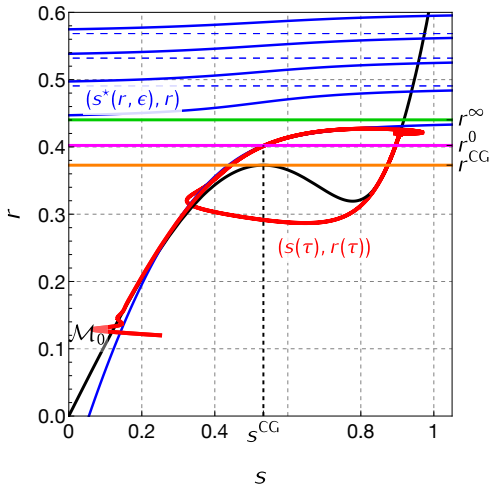
$$r^0 < r^A < r^\infty$$

r^0 : défini tel que $s^*(r) = s^{CG}$

⇒ premier zéro de la dérivée de la fonction d'Airy

r^∞ : défini tel que $s^*(r) \rightarrow \infty$

⇒ premier zéro de la fonction d'Airy



NOUVELLE PRÉDICTION THÉORIQUE DE LA LIMITÉ DE FONCTIONNEMENT

À PARTIR DE L'ANALYSE À L'ORDRE 0

Valeur de ρ (notée ρ_0^*) solution de :

$$r_M^e = r^a = r^{CG}$$

À PARTIR DE LA LOI D'ÉCHELLE

Borne inférieure : $\rho_{\epsilon,\text{inf}}^*$ solution de :

$$r_M^e = r^a = r^{\infty}$$

Borne supérieure : $\rho_{\epsilon,\text{sup}}^*$ solution de :

$$r_M^e = r^a = r^0$$

NOUVELLE PRÉDICTION THÉORIQUE DE LA LIMITÉ DE FONCTIONNEMENT

À PARTIR DE L'ANALYSE À L'ORDRE 0

Valeur de ρ (notée ρ_0^*) solution de :

$$r_M^e = r^a = r^{CG}$$

À PARTIR DE LA LOI D'ÉCHELLE

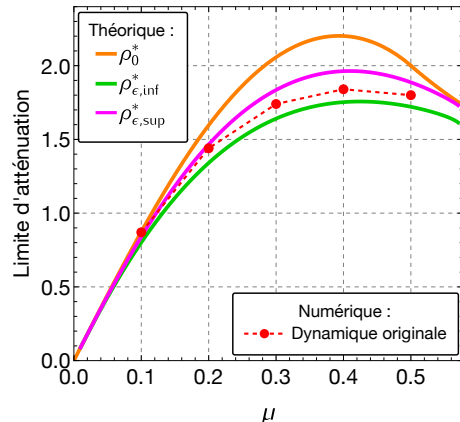
Borne inférieure : $\rho_{\epsilon,\text{inf}}^*$ solution de :

$$r_M^e = r^a = r^{\infty}$$

Borne supérieure : $\rho_{\epsilon,\text{sup}}^*$ solution de :

$$r_M^e = r^a = r^0$$

En fonction de μ pour $\epsilon = 0.015$:



NOUVELLE PRÉDICTION THÉORIQUE DE LA LIMITÉ DE FONCTIONNEMENT

À PARTIR DE L'ANALYSE À L'ORDRE 0

Valeur de ρ (notée ρ_0^*) solution de :

$$r_M^e = r^a = r^{CG}$$

À PARTIR DE LA LOI D'ÉCHELLE

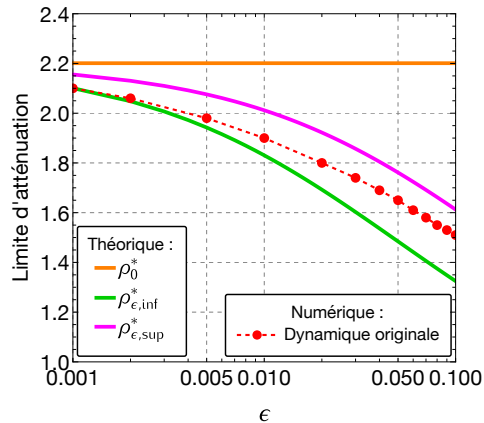
Borne inférieure : $\rho_{\epsilon,inf}^*$ solution de :

$$r_M^e = r^a = r^\infty$$

Borne supérieure : $\rho_{\epsilon,sup}^*$ solution de :

$$r_M^e = r^a = r^0$$

En fonction de ϵ pour $\mu = 0.4$:



BISTABLE NONLINEAR ENERGY SINK (BNES)

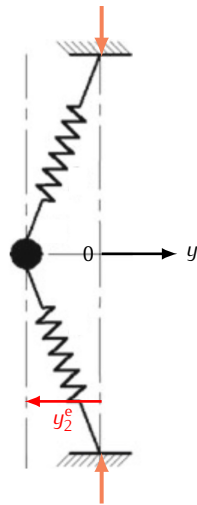
BNES = NES cubique avec en plus une **raideur linéaire négative** :

$$\ddot{y} + \mu\dot{y} - \beta y + \alpha y^3 = 0$$

- ▶ Position d'équilibre triviale $y_0^e = 0$ instable
- ▶ 2 deux positions d'équilibre stables non triviales :

- Position d'équilibre droite : $y_1^e = \sqrt{\frac{\beta}{\alpha}}$

- Position d'équilibre gauche : $y_2^e = -\sqrt{\frac{\beta}{\alpha}}$



Position d'équilibre gauche

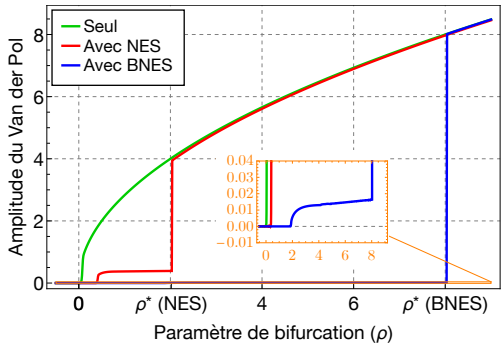


DIAGRAMME DE BIFURCATION

- ▶ $\rho^*(\text{NES}) \ll \rho^*(\text{BNES})$
- ▶ Régimes d'atténuation d'amplitude très faible avec le BNES

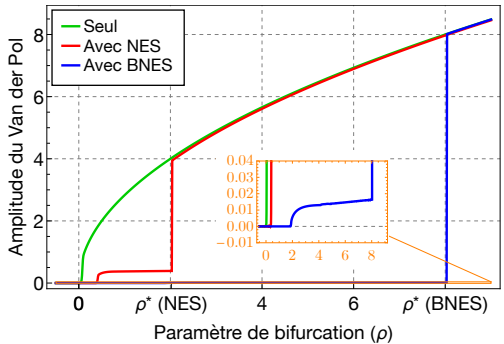


DIAGRAMME DE BIFURCATION

- ▶ $\rho^*(\text{NES}) \ll \rho^*(\text{BNES})$
- ▶ Régimes d'atténuation d'amplitude très faible avec le BNES

⚠ Robustesse

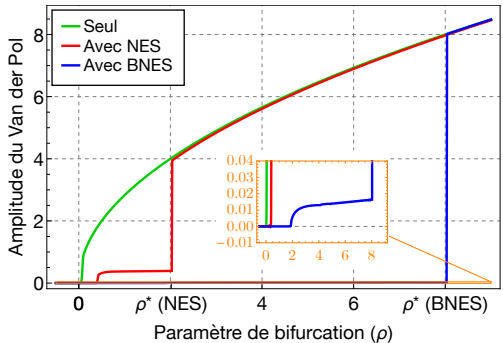


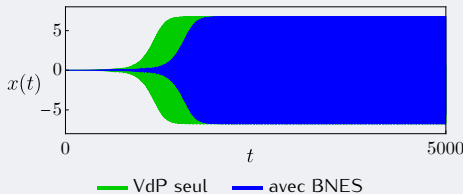
DIAGRAMME DE BIFURCATION

- ▶ $\rho^*(\text{NES}) \ll \rho^*(\text{BNES})$
- ▶ Régimes d'atténuation d'amplitude très faible avec le BNES

⚠ Robustesse

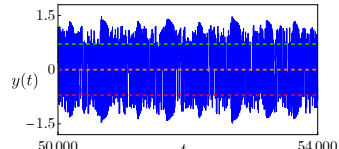
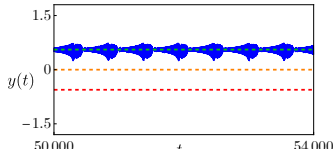
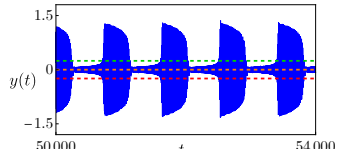
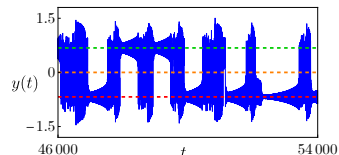
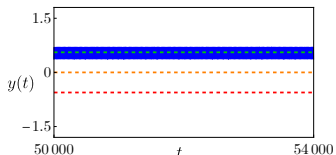
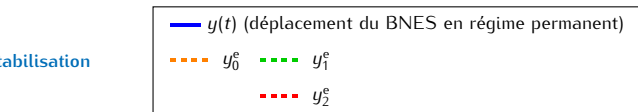
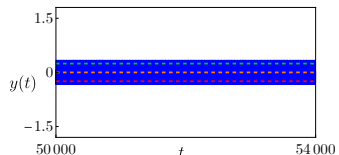
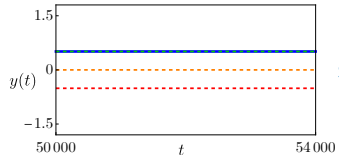
IDENTIFICATION DES RÉGIMES

$\rho > \rho^*$: pas d'atténuation (périodique)



$\rho < \rho^*$

: LES 7 RÉGIMES D'ATTÉNUATION



ANALYSE RAPIDE-LENTE DU FLOT DE MODULATION (À L'ORDRE 0)

⇒ Hypothèse de résonance 1 : 1

► $u(t) = r(t) \sin(t + \theta_1(t))$

► $v(t) = b(t) + s(t) \sin(t + \theta_2(t))$

↪ FLOT DE MODULATION :

$$\dot{r} = \epsilon f(a, c, \delta)$$

$$\dot{b} = g_1(b, c, \epsilon)$$

$$\dot{s} = g_2(a, b, c, \delta)$$

$$\dot{\Delta} = g_3(a, b, c, \delta, \epsilon)$$

ANALYSE RAPIDE-LENTE DU FLOT DE MODULATION (À L'ORDRE 0)

⇒ Hypothèse de résonance 1 : 1

$$\blacksquare u(t) = r(t) \sin(t + \theta_1(t))$$

$$\blacksquare v(t) = b(t) + s(t) \sin(t + \theta_2(t))$$

↳ FLOT DE MODULATION :

$$\dot{r} = \epsilon f(a, c, \delta)$$

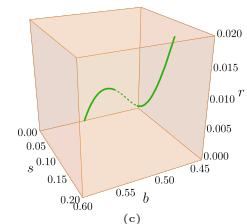
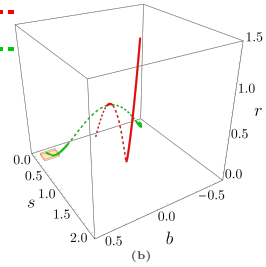
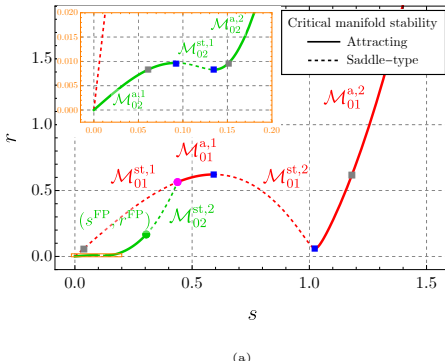
$$\dot{b} = g_1(b, c, \epsilon)$$

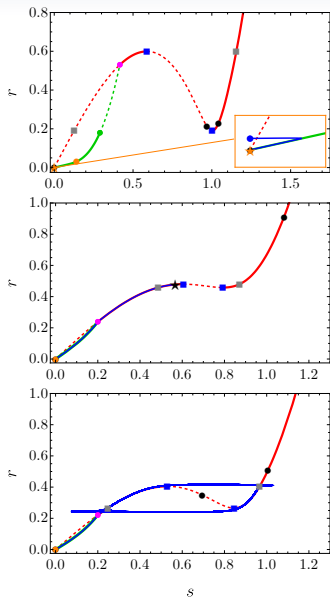
$$\dot{s} = g_2(a, b, c, \delta)$$

$$\dot{\Delta} = g_3(a, b, c, \delta, \epsilon)$$

La variété critique \mathcal{M}_0 a deux banches :

\mathcal{M}_{01}	: \mathcal{M}_{01}^a (attractive) —	\mathcal{M}_{01}^{st} (« répulsive ») - - -
\mathcal{M}_{02}	: \mathcal{M}_{02}^a (attractive) —	\mathcal{M}_{02}^{st} (« répulsive ») - - -



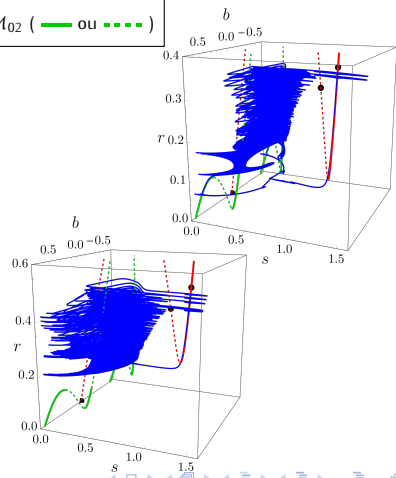
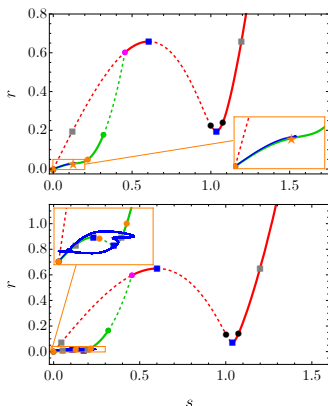


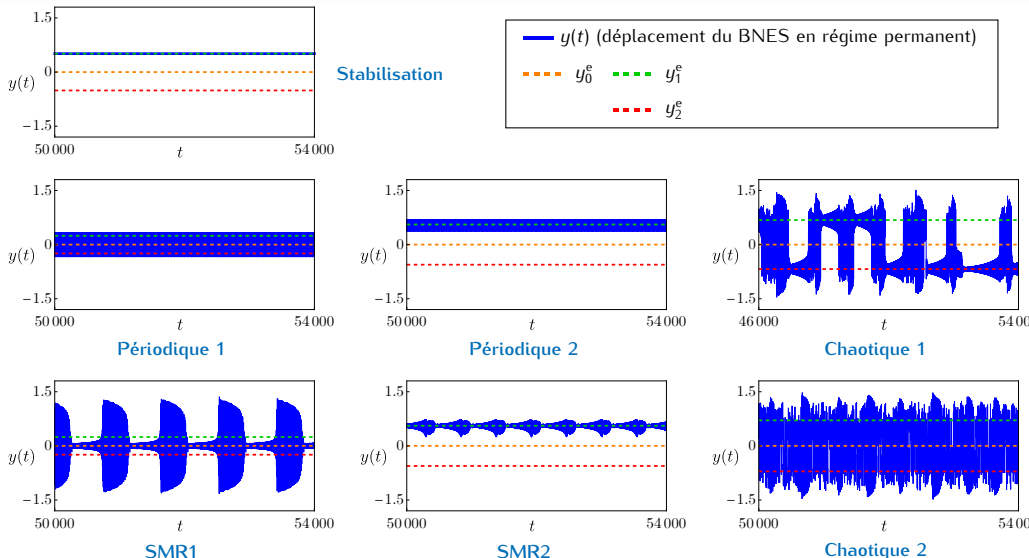
Dans le plan (s, r) :

— Trajectoire du flot de modulation

* équilibres stables et • instables sur \mathcal{M}_{01} (— ou - - -)

* équilibres stables et • instables sur \mathcal{M}_{02} (— ou - - -)





PLAN

1. INTRODUCTION

2. CONTRÔLE PASSIF NON LINÉAIRE DE VIBRATIONS AUTO-ENTRETENUES

3. PHÉNOMÈNES TRANSITOIRES DANS LES INSTRUMENTS DE MUSIQUE À ANCHE

3.1. CONTEXTE

3.2. RETARD À LA BIFURCATION

3.3. BASSIN D'ATTRACTION DYNAMIQUE

MODÈLE PHYSIQUE D'INSTRUMENT À ANCHE

- ▶ Système dynamique non linéaire reliant des **paramètres de contrôle** (**pression de souffle**, **force d'appui de la lèvre sur l'anche**) à des **variables de sorties** (pression acoustique dans le bec)
- ▶ Les études théoriques antérieures de la production effectuée à **paramètres de contrôle constants dans le temps** et montrent :
 - Apparition du son = **bifurcation de Hopf** de la solution triviale au profit d'une solution périodique stable
 - Présence de **multistabilité**

CONSTAT : pendant les phases transitoires le musicien fait **varier les paramètres de contrôle dans le temps**

PROBLÉMATIQUE

Une variation dans le temps des paramètres = succession d'états d'équilibre ? Si non :

- » Acoustique musicale : pendant un transitoire d'attaque, quelles conséquences :
 - ➊ sur l'apparition du son ?
 - ➋ sur le régime atteint en cas de multistabilité ?
- » Générale : étude de systèmes dynamiques non linéaires à paramètre variable dans le temps quand
 - ➊ un point de bifurcation est croisé (notion de *retard à la bifurcation*)
 - ➋ une zone de multistabilité est traversée (notion de *bassin d'attraction* « *dynamique* »)

TRAVAIL PRÉSENTÉ : cas d'une **variation linéaire** du paramètre de contrôle « **pression de souffle** »

MODÈLE PHYSIQUE D'INSTRUMENT À ANCHE

- ▶ Système dynamique non linéaire reliant des **paramètres de contrôle** (**pression de souffle**, **force d'appui de la lèvre sur l'ancre**) à des **variables de sorties** (pression acoustique dans le bec)
- ▶ Les études théoriques antérieures de la production effectuée à **paramètres de contrôle constants dans le temps** et montrent :
 - Apparition du son = **bifurcation de Hopf de la solution triviale** au profit d'une **solution périodique stable**
 - Présence de **multistabilité**

CONSTAT : pendant les phases transitoires le musicien fait **varier les paramètres de contrôle dans le temps**

PROBLÉMATIQUE

Une variation dans le temps des paramètres = succession d'états d'équilibre ? Si non :

- » Acoustique musicale : pendant un transitoire d'attaque, quelles conséquences :
 - ➊ sur l'apparition du son ?
 - ➋ sur le régime atteint en cas de multistabilité ?
- » Générale : étude de systèmes dynamiques non linéaires à paramètre variable dans le temps quand
 - ➊ un point de bifurcation est croisé (notion de *retard à la bifurcation*)
 - ➋ une zone de multistabilité est traversée (notion de *bassin d'attraction* « *dynamique* »)

TRAVAIL PRÉSENTÉ : cas d'une **variation linéaire** du paramètre de contrôle « **pression de souffle** »

MODÈLE PHYSIQUE D'INSTRUMENT À ANCHE

- ▶ Système dynamique non linéaire reliant des **paramètres de contrôle** (**pression de souffle**, **force d'appui de la lèvre sur l'ancre**) à des **variables de sorties** (pression acoustique dans le bec)
- ▶ Les études théoriques antérieures de la production effectuée à **paramètres de contrôle constants dans le temps** et montrent :
 - Apparition du son = **bifurcation de Hopf de la solution triviale** au profit d'une **solution périodique stable**
 - Présence de **multistabilité**

CONSTAT : pendant les phases transitoires le musicien fait **varier les paramètres de contrôle dans le temps**

PROBLÉMATIQUE

Une variation dans le temps des paramètres = succession d'états d'équilibre ? Si non :

- ▶ **Acoustique musicale** : pendant un transitoire d'attaque, quelles conséquences :
 - ① sur l'apparition du son ?
 - ② sur le régime atteint en cas de multistabilité ?
- ▶ **Général** : étude de systèmes dynamiques non linéaires à paramètre variable dans le temps quand
 - ➊ un point de bifurcation est croisé (notion de *retard à la bifurcation*)
 - ➋ une zone de multistabilité est traversée (notion de *bassin d'attraction* « *dynamique* »)

TRAVAIL PRÉSENTÉ : cas d'une **variation linéaire** du paramètre de contrôle « **pression de souffle** »

MODÈLE PHYSIQUE D'INSTRUMENT À ANCHE

- ▶ Système dynamique non linéaire reliant des **paramètres de contrôle** (**pression de souffle**, **force d'appui de la lèvre sur l'ancre**) à des **variables de sorties** (pression acoustique dans le bec)
- ▶ Les études théoriques antérieures de la production effectuée à **paramètres de contrôle constants dans le temps** et montrent :
 - Apparition du son = **bifurcation de Hopf de la solution triviale** au profit d'une **solution périodique stable**
 - Présence de **multistabilité**

CONSTAT : pendant les phases transitoires le musicien fait **varier les paramètres de contrôle dans le temps**

PROBLÉMATIQUE

Une variation dans le temps des paramètres = succession d'états d'équilibre ? Si non :

- ▶ **Acoustique musicale** : pendant un transitoire d'attaque, quelles conséquences :
 - ① sur l'**apparition du son** ?
 - ② sur le **régime atteint en cas de multistabilité** ?
- ▶ **Générale** : étude de systèmes dynamiques non linéaires à paramètre variable dans le temps quand
 - ① un point de bifurcation est croisé (notion de **retard à la bifurcation**)
 - ② une zone de multistabilité est traversée (notion de **bassin d'attraction « dynamique »**)

TRAVAIL PRÉSENTÉ : cas d'une **variation linéaire** du paramètre de contrôle « **pression de souffle** »

MODÈLE PHYSIQUE D'INSTRUMENT À ANCHE

- ▶ Système dynamique non linéaire reliant des **paramètres de contrôle** (**pression de souffle**, **force d'appui de la lèvre sur l'ancre**) à des **variables de sorties** (pression acoustique dans le bec)
- ▶ Les études théoriques antérieures de la production effectuée à **paramètres de contrôle constants dans le temps** et montrent :
 - Apparition du son = **bifurcation de Hopf de la solution triviale** au profit d'une **solution périodique stable**
 - Présence de **multistabilité**

CONSTAT : pendant les phases transitoires le musicien fait **varier les paramètres de contrôle dans le temps**

PROBLÉMATIQUE

Une variation dans le temps des paramètres = succession d'états d'équilibre ? Si non :

- ▶ **Acoustique musicale** : pendant un transitoire d'attaque, quelles conséquences :
 - ① sur l'**apparition du son** ?
 - ② sur le **régime atteint en cas de multistabilité** ?
- ▶ **Générale** : étude de **systèmes dynamiques non linéaires à paramètre variable dans le temps** quand
 - ① un **point de bifurcation est croisé** (notion de **retard à la bifurcation**)
 - ② une **zone de multistabilité est traversée** (notion de **bassin d'attraction « dynamique »**)

TRAVAIL PRÉSENTÉ : cas d'une **variation linéaire** du paramètre de contrôle « **pression de souffle** »

MODÈLE PHYSIQUE D'INSTRUMENT À ANCHE

- ▶ Système dynamique non linéaire reliant des **paramètres de contrôle** (**pression de souffle**, **force d'appui de la lèvre sur l'ancre**) à des **variables de sorties** (pression acoustique dans le bec)
- ▶ Les études théoriques antérieures de la production effectuée à **paramètres de contrôle constants dans le temps** et montrent :
 - Apparition du son = **bifurcation de Hopf de la solution triviale** au profit d'une **solution périodique stable**
 - Présence de **multistabilité**

CONSTAT : pendant les phases transitoires le musicien fait **varier les paramètres de contrôle dans le temps**

PROBLÉMATIQUE

Une variation dans le temps des paramètres = succession d'états d'équilibre ? Si non :

- ▶ **Acoustique musicale** : pendant un transitoire d'attaque, quelles conséquences :
 - ① sur l'**apparition du son** ?
 - ② sur le **régime atteint en cas de multistabilité** ?
- ▶ **Générale** : étude de **systèmes dynamiques non linéaires à paramètre variable dans le temps** quand
 - ① un **point de bifurcation est croisé** (notion de **retard à la bifurcation**)
 - ② une **zone de multistabilité est traversée** (notion de **bassin d'attraction « dynamique »**)

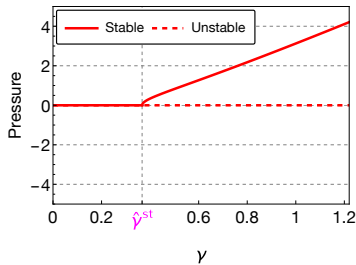
TRAVAIL PRÉSENTÉ : cas d'une **variation linéaire** du paramètre de contrôle « **pression de souffle** »

RETARD À LA BIFURCATION

MISE EN ÉVIDENCE NUMÉRIQUE AVEC UN MODÈLE TRÈS SIMPLE D'INSTRUMENT À ANCHE

- ▶ Variables de sortie : p (pression acoustique dans le bec) et \dot{p}
- ▶ Paramètre de contrôle (ou de bifurcation) : γ (pression de souffle statique)
⚠ vocabulaire : statique = γ constant; dynamique = γ varie dans le temps
- ▶ Bifurcation « statique » de Hopf : silence (point fixe trivial) → note (solution périodique)
⇒ γ^{st} : point de bifurcation de Hopf statique

Diagramme de bifurcation statique



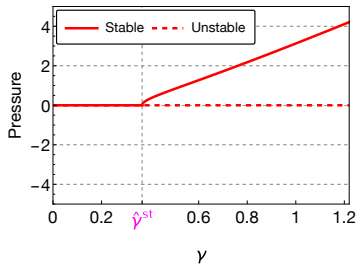
RETARD À LA BIFURCATION

MISE EN ÉVIDENCE NUMÉRIQUE AVEC UN MODÈLE TRÈS SIMPLE D'INSTRUMENT À ANCHE

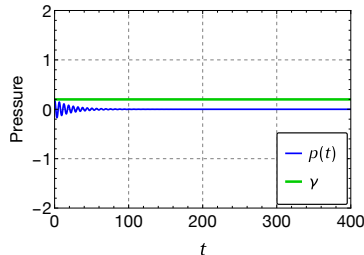
- ▶ Variables de sortie : p (pression acoustique dans le bec) et \dot{p}
- ▶ Paramètre de contrôle (ou de bifurcation) : γ (pression de souffle statique)
- ⚠ vocabulaire : statique = γ constant; dynamique = γ varie dans le temps
- ▶ Bifurcation « statique » de Hopf : silence (point fixe trivial) → note (solution périodique)

⇒ $\hat{\gamma}^{\text{st}}$: point de bifurcation de Hopf statique

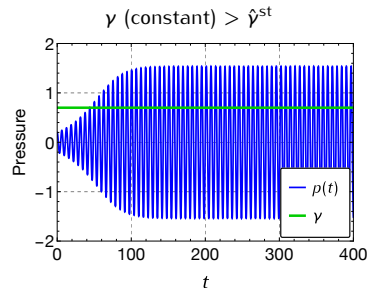
Diagramme de bifurcation statique



γ (constant) $< \hat{\gamma}^{\text{st}}$



γ (constant) $> \hat{\gamma}^{\text{st}}$

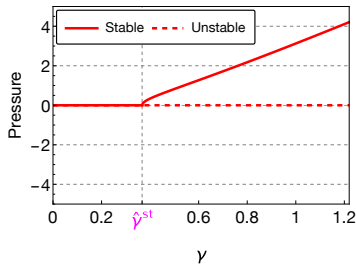


RETARD À LA BIFURCATION

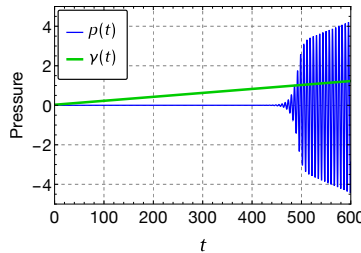
MISE EN ÉVIDENCE NUMÉRIQUE AVEC UN MODÈLE TRÈS SIMPLE D'INSTRUMENT À ANCHE

- ▶ Variables de sortie : p (pression acoustique dans le bec) et \dot{p}
- ▶ Paramètre de contrôle (ou de bifurcation) : γ (pression de souffle statique)
- ⚠ vocabulaire : statique = γ constant; dynamique = γ varie dans le temps
- ▶ Bifurcation « statique » de Hopf : silence (point fixe trivial) → note (solution périodique)
 $\Rightarrow \gamma^{\text{st}}$: point de bifurcation de Hopf statique

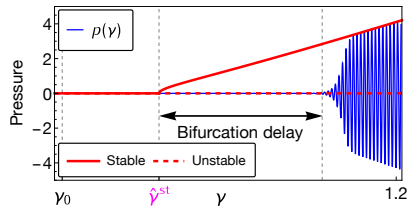
Diagramme de bifurcation statique



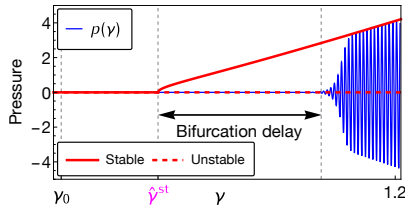
γ varie linéairement dans le temps



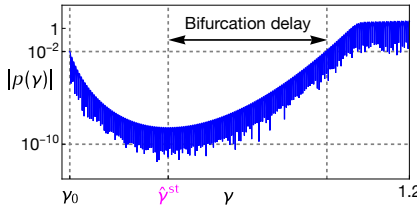
Échelle linéaire en ordonnée



Échelle linéaire en ordonnée



Échelle logarithmique en ordonnée

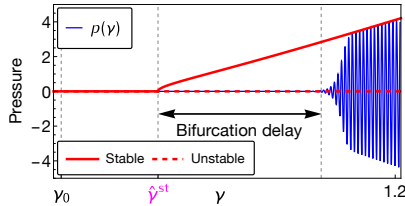


ORIGINE DU RETARD À LA BIFURCATION

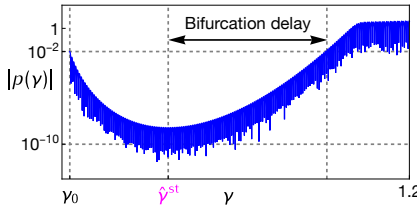
Quand $\gamma(t)$ augmente, l'amplitude de $p(\gamma)$:

- ▶ diminue et **se rapproche de zéro** quand $\gamma(t) < \hat{\gamma}^{\text{st}}$
- \Rightarrow Amplitude **microscopique**

Échelle linéaire en ordonnée



Échelle logarithmique en ordonnée

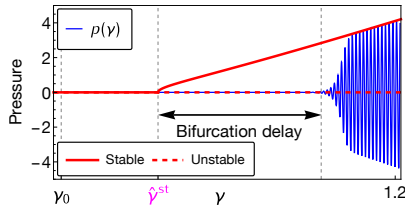


ORIGINE DU RETARD À LA BIFURCATION

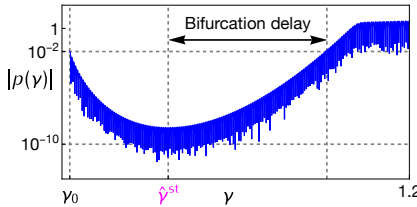
Quand $\gamma(t)$ augmente, l'amplitude de $p(\gamma)$:

- ▶ diminue et **se rapproche de zéro** quand $\gamma(t) < \hat{\gamma}^{\text{st}}$
⇒ Amplitude **microscopique**
- ▶ atteint un **minimum** quand $\gamma(t) = \hat{\gamma}^{\text{st}}$

Échelle linéaire en ordonnée



Échelle logarithmique en ordonnée

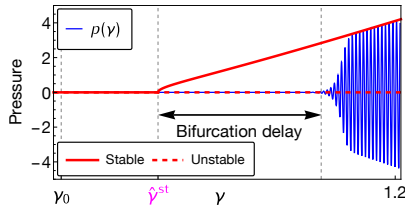


ORIGINE DU RETARD À LA BIFURCATION

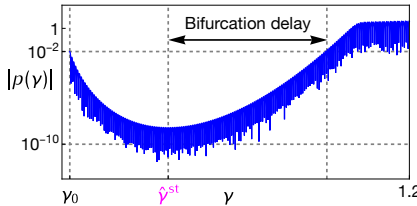
Quand $\gamma(t)$ augmente, l'amplitude de $p(\gamma)$:

- ▶ diminue et **se rapproche de zéro** quand $\gamma(t) < \hat{\gamma}^{\text{st}}$
⇒ Amplitude **microscopique**
- ▶ atteint un **minimum** quand $\gamma(t) = \hat{\gamma}^{\text{st}}$
- ▶ **augmente** quand $\gamma(t) > \hat{\gamma}^{\text{st}}$ pour retrouver des valeurs **macroscopique** à partir de $|p(\gamma)| = |p(\gamma_0)|$

Échelle linéaire en ordonnée



Échelle logarithmique en ordonnée

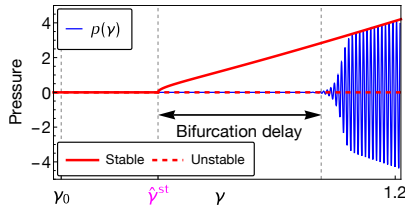


ORIGINE DU RETARD À LA BIFURCATION

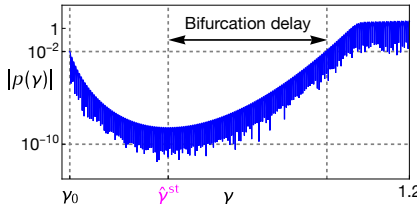
Quand $\gamma(t)$ augmente, l'amplitude de $p(\gamma)$:

- ▶ diminue et **se rapproche de zéro** quand $\gamma(t) < \hat{\gamma}^{\text{st}}$
⇒ Amplitude **microscopique**
 - ▶ atteint un **minimum** quand $\gamma(t) = \hat{\gamma}^{\text{st}}$
 - ▶ **augmente** quand $\gamma(t) > \hat{\gamma}^{\text{st}}$ pour retrouver des valeurs **macroscopique** à partir de $|p(\gamma)| = |p(\gamma_0)|$
- ⇒ **Effet de retard**

Échelle linéaire en ordonnée



Échelle logarithmique en ordonnée



ORIGINE DU RETARD À LA BIFURCATION

Quand $\gamma(t)$ augmente, l'amplitude de $p(\gamma)$:

- ▶ diminue et **se rapproche de zéro** quand $\gamma(t) < \hat{\gamma}^{st}$
⇒ Amplitude **microscopique**
 - ▶ atteint un **minimum** quand $\gamma(t) = \hat{\gamma}^{st}$
 - ▶ **augmente** quand $\gamma(t) > \hat{\gamma}^{st}$ pour retrouver des valeurs **macroscopique** à partir de $|p(\gamma)| = |p(\gamma_0)|$
- ⇒ **Effet de retard**

MISE EN ÉVIDENCE EXPÉRIMENTALE (bouche artificielle + clarinette de laboratoire) : [Bergeot *et al.* (2014), J Acoust Soc Am]

NÉCESSITÉ D'UNE MODÉLISATION STOCHASTIQUE

Le bruit (physique ou numérique) réduit le retard à la bifurcation et doit être pris en compte dans les modèles

NÉCESSITÉ D'UNE MODÉLISATION STOCHASTIQUE

Le bruit (physique ou numérique) réduit le retard à la bifurcation et doit être pris en compte dans les modèles

MODÈLE STOCHASTIQUE RETENU (TRÈS SIMPLE)

Instrument à anche ≡

Oscillateur de type Van der Pol (en p) avec :

- ▶ Pression de souffle $\gamma(t)$ variant lentement dans le temps
- ▶ Forçage stochastique faible de type bruit blanc

NÉCESSITÉ D'UNE MODÉLISATION STOCHASTIQUE

Le bruit (physique ou numérique) réduit le retard à la bifurcation et doit être pris en compte dans les modèles

MODÈLE STOCHASTIQUE RETENU (TRÈS SIMPLE)

Instrument à anche ≡

Oscillateur de type Van der Pol (en p) avec :

- ▶ Pression de souffle $\gamma(t)$ variant lentement dans le temps
- ▶ Forçage stochastique faible de type bruit blanc

Après moyennisation stochastique :

$$\dot{x} = f(x, \gamma) + \sigma \xi(t)$$

$$\dot{\gamma} = \epsilon$$

⇒ Système rapide-lent stochastique avec :

$x(t)$ l'amplitude de $p(t)$: variable rapide

γ : variable lente ; $\xi(t)$: bruit blanc

NÉCESSITÉ D'UNE MODÉLISATION STOCHASTIQUE

Le bruit (physique ou numérique) réduit le retard à la bifurcation et doit être pris en compte dans les modèles

MODÈLE STOCHASTIQUE RETENU (TRÈS SIMPLE)

Instrument à anche ≡

Oscillateur de type Van der Pol (en p) avec :

- ▶ Pression de souffle $\gamma(t)$ variant lentement dans le temps
- ▶ Forçage stochastique faible de type bruit blanc

Après moyennisation stochastique :

$$\dot{x} = f(x, \gamma) + \sigma \xi(t)$$

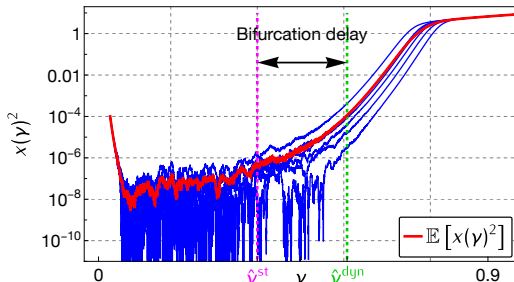
$$\dot{\gamma} = \epsilon$$

⇒ Système rapide-lent stochastique avec :

$x(t)$ l'amplitude de $p(t)$: variable rapide

γ : variable lente ; $\xi(t)$: bruit blanc

6 réalisations du modèle



NÉCESSITÉ D'UNE MODÉLISATION STOCHASTIQUE

Le bruit (physique ou numérique) réduit le retard à la bifurcation et doit être pris en compte dans les modèles

MODÈLE STOCHASTIQUE RETENU (TRÈS SIMPLE)

Instrument à anche ≡

Oscillateur de type Van der Pol (en p) avec :

- ▶ Pression de souffle $\gamma(t)$ variant lentement dans le temps
- ▶ Forçage stochastique faible de type bruit blanc

Après moyennisation stochastique :

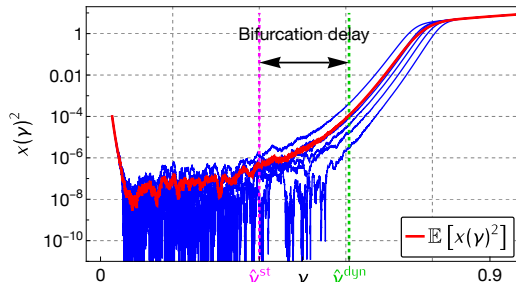
$$\begin{aligned}\dot{x} &= f(x, \gamma) + \sigma \xi(t) \\ \dot{\gamma} &= \epsilon\end{aligned}$$

⇒ Système rapide-lent stochastique avec :

$x(t)$ l'amplitude de $p(t)$: variable rapide

γ : variable lente ; $\xi(t)$: bruit blanc

6 réalisations du modèle



DÉFINITION : POINT DE BIFURCATION DYNAMIQUE $\hat{\gamma}^{\text{dyn}}$

Valeur de γ telle que $E[x(\gamma)^2] = x(\gamma_0)^2$

PRÉDICTION ANALYTIQUE DU RETARD À LA BIFURCATION

SOLUTION ANALYTIQUE de :

$$\begin{aligned}\dot{x} &= f(x, y) + \sigma \xi(t) \\ \dot{y} &= \epsilon\end{aligned}$$

[Bergeot & Vergez (2022), Nonlinear Dyn]

PRÉDICTION ANALYTIQUE DU RETARD À LA BIFURCATION

SOLUTION ANALYTIQUE de :

$$\begin{aligned}\dot{x} &= f(x, y) + \sigma \xi(t) \\ \dot{y} &= \epsilon\end{aligned}$$

[Bergeot & Vergez (2022), Nonlinear Dyn]

⇒ Trois régimes identifiés [Berglund & Gentz (2006), Springer] :

Régime I

Déterministe

Régime II

Stochastique
(σ petit)

Régime III

Stochastique
(σ grand)

PRÉDICTION ANALYTIQUE DU RETARD À LA BIFURCATION

SOLUTION ANALYTIQUE de :

$$\begin{aligned}\dot{x} &= f(x, y) + \sigma \xi(t) \\ \dot{y} &= \epsilon\end{aligned}$$

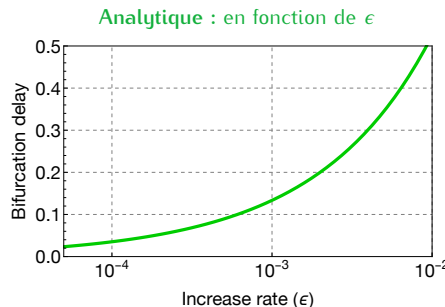
[Bergeot & Vergez (2022), Nonlinear Dyn]

⇒ Trois régimes identifiés [Berglund & Gentz (2006), Springer] :

Régime I
Déterministe

Régime II
Stochastique
(σ petit)

Régime III
Stochastique
(σ grand)



PRÉDICTION ANALYTIQUE DU RETARD À LA BIFURCATION

SOLUTION ANALYTIQUE de :

$$\begin{aligned}\dot{x} &= f(x, y) + \sigma \xi(t) \\ \dot{y} &= \epsilon\end{aligned}$$

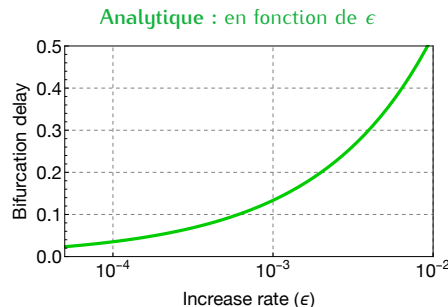
[Bergeot & Vergez (2022), Nonlinear Dyn]

⇒ Trois régimes identifiés [Berglund & Gentz (2006), Springer] :

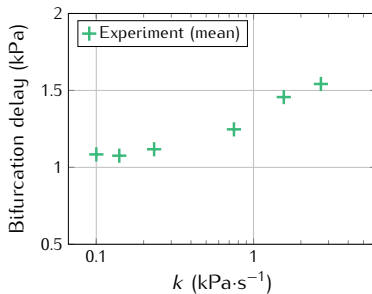
Régime I
Déterministe

Régime II
Stochastique
(σ petit)

Régime III
Stochastique
(σ grand)



Expérimental : en fonction de $k \propto \epsilon$:



[Bergeot et al. (2014), J Acoust Soc Am]

CONTEXTE

MODÈLE SIMPLIFIÉ D'INSTRUMENT À ANCHE (DÉTERMINISTE)

Un système rapide-lent

$$\begin{aligned}\dot{x} &= f(x, \gamma) \\ \dot{\gamma} &= \epsilon\end{aligned}$$

Sous-système rapide

$$\begin{aligned}\dot{x} &= f(x, \gamma) \\ \dot{\gamma} &= 0\end{aligned}$$

Sous-système lent

$$\begin{aligned}0 &= f(x, \gamma) \\ \gamma' &= 1\end{aligned}$$

x : amplitude de la pression dans le bec p (**variable rapide**)

γ : pression de souffle (**variable lente**)

CONTEXTE

MODÈLE SIMPLIFIÉ D'INSTRUMENT À ANCHE (DÉTERMINISTE)

Un système rapide-lent

$$\begin{aligned}\dot{x} &= f(x, \gamma) \\ \dot{\gamma} &= \epsilon\end{aligned}$$

Sous-système rapide

$$\begin{aligned}\dot{x} &= f(x, \gamma) \\ \dot{\gamma} &= 0\end{aligned}$$

Sous-système lent

$$\begin{aligned}0 &= f(x, \gamma) \\ \gamma' &= 1\end{aligned}$$

x : amplitude de la pression dans le bec p (**variable rapide**)

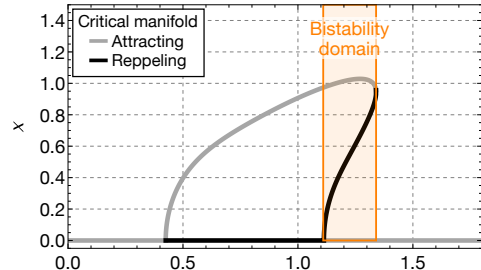
γ : pression de souffle (**variable lente**)

VARIÉTÉ CRITIQUE :

- Est définie par :

$$\mathcal{M}_0 = \{(x, \gamma) \in \mathbb{R}^2 \mid f(x, \gamma) = 0\}$$

- = Diagramme de bifurcation statique
- Possède un **domaine de bistabilité**

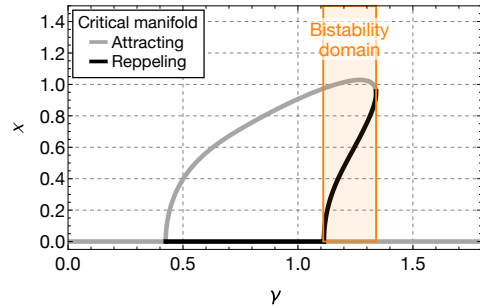


CONTEXTE

BASSIN D'ATTRACTION STATIQUE ($\gamma = \text{CONSTANTE}$)

Dans la **région de bistabilité** $f(x, \gamma) = 0$ a **3 solutions** :

⇒ 2 équilibres stables (branches attractives de M_0), 1 équilibre instable (branche répulsive de M_0)



CONTEXTE

BASSIN D'ATTRACTION STATIQUE ($\gamma = \text{CONSTANTE}$)

Dans la **région de bistabilité** $f(x, \gamma) = 0$ a **3 solutions** :

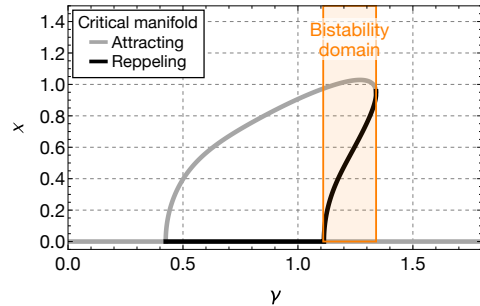
\Rightarrow 2 équilibres stables (branches attractives de M_0), 1 équilibre instable (branche répulsive de M_0)

DEFINITION (BASSIN D'ATTRACTION STATIQUE)

Pour une **solution stable** donnée du **sous-système rapide**, le **bassin d'attraction statique** (BAS) est l'ensemble des conditions initiales conduisant à cette solution.

DEFINITION (SÉPARATRICE ENTRE 2 BAS)

Frontière dans l'espace des phases qui sépare deux BAS.



CONTEXTE

BASSIN D'ATTRACTION STATIQUE ($\gamma = \text{CONSTANTE}$)

Dans la **région de bistabilité** $f(x, \gamma) = 0$ a **3 solutions** :

\Rightarrow 2 équilibres stables (branches attractives de M_0), 1 équilibre instable (branche répulsive de M_0)

DEFINITION (BASSIN D'ATTRACTION STATIQUE)

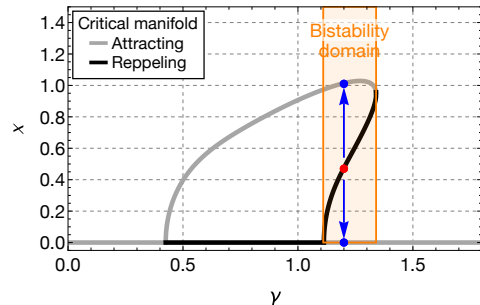
Pour une **solution stable** donnée du **sous-système rapide**, le **bassin d'attraction statique** (BAS) est l'ensemble des conditions initiales conduisant à cette solution.

DEFINITION (SÉPARATRICE ENTRE 2 BAS)

Frontière dans l'espace des phases qui sépare deux BAS.

NATURE DE LA SÉPARATRICE

Solution instable



CONTEXTE

BASSIN D'ATTRACTION STATIQUE ($\gamma = \text{CONSTANTE}$)

Dans la **région de bistabilité** $f(x, \gamma) = 0$ a **3 solutions** :

\Rightarrow 2 équilibres stables (branches attractives de M_0), 1 équilibre instable (branche répulsive de M_0)

DEFINITION (BASSIN D'ATTRACTION STATIQUE)

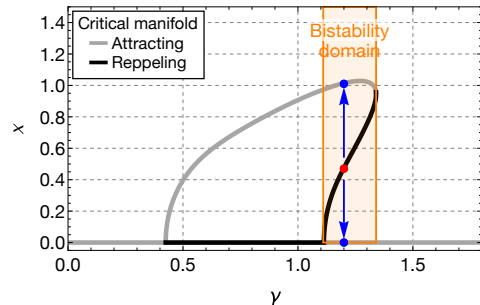
Pour une **solution stable** donnée du **sous-système rapide**, le **bassin d'attraction statique** (BAS) est l'ensemble des conditions initiales conduisant à cette solution.

DEFINITION (SÉPARATRICE ENTRE 2 BAS)

Frontière dans l'espace des phases qui sépare deux BAS.

NATURE DE LA SÉPARATRICE

Solution instable



Comment évolue la notion de bassin d'attraction dans le **cas dynamique** ?

PROBLÉMATIQUE

BASSIN D'ATTRACTION « DYNAMIQUE »

$$\begin{aligned}\dot{x} &= f(x, y) \\ \dot{y} &= \epsilon\end{aligned}$$

(1)

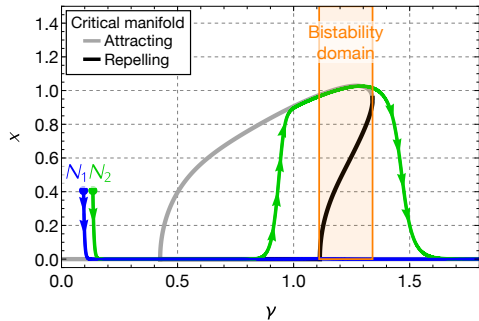
- ▶ Partant d'une condition initiale donnée, quelle branche attractive de la variété critique la trajectoire de (1) va-t-elle longer quand elle traversera la zone de bistabilité ?

PROBLÉMATIQUE

BASSIN D'ATTRACTION « DYNAMIQUE »

$$\begin{aligned}\dot{x} &= f(x, y) \\ \dot{y} &= \epsilon\end{aligned}\quad (1)$$

- Partant d'une condition initiale donnée, quelle branche attractive de la variété critique la trajectoire de (1) va-t-elle longer quand elle traversera la zone de bistabilité ?

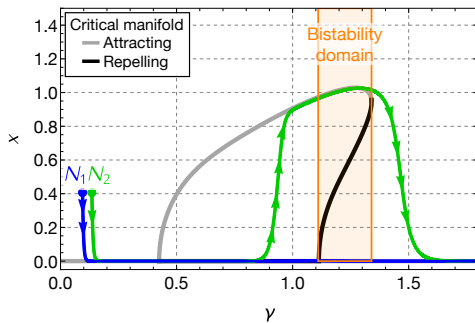


PROBLÉMATIQUE

BASSIN D'ATTRACTION « DYNAMIQUE »

$$\begin{aligned}\dot{x} &= f(x, y) \\ \dot{y} &= \epsilon\end{aligned}\quad (1)$$

- Partant d'une condition initiale donnée, quelle branche attractive de la variété critique la trajectoire de (1) va-t-elle longer quand elle traversera la zone de bistabilité ?



THÉORÈME (FENICHEL 1979)

Si M_0 de (1) est **attractive** ou **répulsive** alors il existe une **variété invariante** M_ϵ (c.-à-d. une solution de (1) quand $0 < \epsilon \ll 1$) qui est $\mathcal{O}(\epsilon)$ -proche de M_0 . M_ϵ possède les **mêmes propriétés de stabilité que** M_0 .

DÉFINITIONS ET RÉSULTATS [Bergeot, Terrien & Vergez (2024), Chaos]

Dans le domaine de bistabilité
3 variétés invariantes

- ▶ Variété critique : 2 attractives \mathcal{M}_{0,a_1} et \mathcal{M}_{0,a_2} et 1 répulsive $\mathcal{M}_{0,r}$
- ▶ Variétés invariantes : 2 attractives $\mathcal{M}_{\epsilon,a_1}$ et $\mathcal{M}_{\epsilon,a_2}$ et 1 répulsive $\mathcal{M}_{\epsilon,r}$

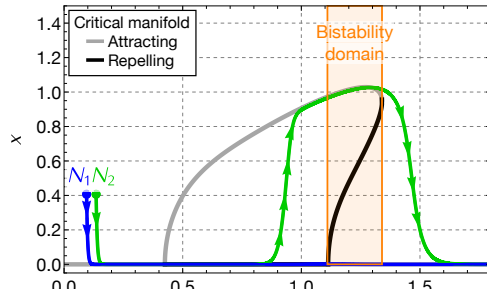
DÉFINITIONS ET RÉSULTATS [Bergeot, Terrien & Vergez (2024), Chaos]

Dans le domaine de bistabilité
3 variétés invariantes

- ▶ Variété critique : 2 attractives \mathcal{M}_{0,a_1} et \mathcal{M}_{0,a_2} et 1 répulsive $\mathcal{M}_{0,r}$
- ▶ Variétés invariantes : 2 attractives $\mathcal{M}_{\epsilon,a_1}$ et $\mathcal{M}_{\epsilon,a_2}$ et 1 répulsive $\mathcal{M}_{\epsilon,r}$

DÉFINITIONS : BASSIN D'ATTRACTION DYNAMIQUE (BAD) ET SÉPARATRICE ENTRE BAD (SBAD)

Le **BAD** d'une branche attractive $\mathcal{M}_{\epsilon,a_i}$ ($i = 1, 2$) est la région de l'espace des phases pour laquelle les trajectoires provenant de conditions initiales dans le BAD finissent par longer $\mathcal{M}_{\epsilon,a_i}$ quand le domaine de bistabilité est traversé. La **SDBA** est la frontière dans l'espace des phases qui sépare deux BAD.



DÉFINITIONS ET RÉSULTATS [Bergeot, Terrien & Vergez (2024), Chaos]

Dans le domaine de bistabilité
3 variétés invariantes

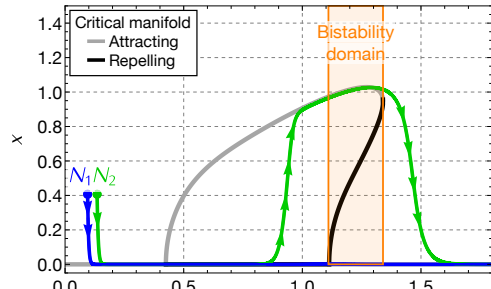
- ▶ Variété critique : 2 attractives \mathcal{M}_{0,a_1} et \mathcal{M}_{0,a_2} et 1 répulsive $\mathcal{M}_{0,r}$
- ▶ Variétés invariantes : 2 attractives $\mathcal{M}_{\epsilon,a_1}$ et $\mathcal{M}_{\epsilon,a_2}$ et 1 répulsive $\mathcal{M}_{\epsilon,r}$

DÉFINITIONS : BASSIN D'ATTRACTION DYNAMIQUE (BAD) ET SÉPARATRICE ENTRE BAD (SBAD)

Le **BAD** d'une branche attractive $\mathcal{M}_{\epsilon,a_i}$ ($i = 1, 2$) est la région de l'espace des phases pour laquelle les trajectoires provenant de conditions initiales dans le BAD finissent par longer $\mathcal{M}_{\epsilon,a_i}$ quand le domaine de bistabilité est traversé. La **SDBA** est la frontière dans l'espace des phases qui sépare deux BAD.

NATURE DE LA SÉPARATRICE

La **SBAD** est $\mathcal{M}_{\epsilon,r}$ considérée au-delà de la limite inférieure du domaine de bistabilité



DÉFINITIONS ET RÉSULTATS [Bergeot, Terrien & Vergez (2024), Chaos]

Dans le domaine de bistabilité
3 variétés invariantes

- ▶ Variété critique : 2 attractives \mathcal{M}_{0,a_1} et \mathcal{M}_{0,a_2} et 1 répulsive $\mathcal{M}_{0,r}$
- ▶ Variétés invariantes : 2 attractives $\mathcal{M}_{\epsilon,a_1}$ et $\mathcal{M}_{\epsilon,a_2}$ et 1 répulsive $\mathcal{M}_{\epsilon,r}$

DÉFINITIONS : BASSIN D'ATTRACTION DYNAMIQUE (BAD) ET SÉPARATRICE ENTRE BAD (SBAD)

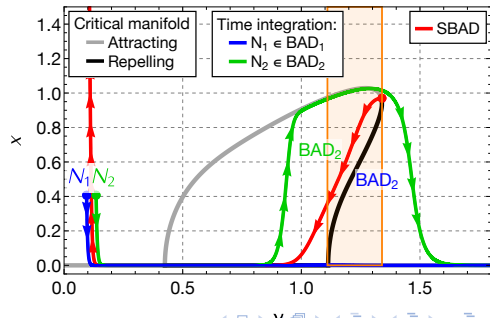
Le **BAD** d'une branche attractive $\mathcal{M}_{\epsilon,a_i}$ ($i = 1, 2$) est la région de l'espace des phases pour laquelle les trajectoires provenant de conditions initiales dans le BAD finissent par longer $\mathcal{M}_{\epsilon,a_i}$ quand le domaine de bistabilité est traversé. La **SDBA** est la frontière dans l'espace des phases qui sépare deux BAD.

NATURE DE LA SÉPARATRICE

La **SBAD** est $\mathcal{M}_{\epsilon,r}$ considérée au-delà de la limite inférieure du domaine de bistabilité

En pratique :

SBAD approchée numériquement au moyen d'une **procédure de retournement temporel** car ici $\mathcal{M}_{\epsilon,r}$ est attractive en temps inversé.



Troisième partie

PERSPECTIVES À COURT ET MOYEN TERME

4. PERSPECTIVES CONCERNANT LE CONTRÔLE PASSIF NON LINÉAIRE DE VIBRATIONS

- 4.1. CONTRÔLE ET RÉCUPÉRATION D'ÉNERGIE VIBRATOIRE NUISIBLE DANS LES ÉOLIENNES
- 4.2. ANALYSE LENTE-RAPIDE APPROFONDIE

5. PERSPECTIVES CONCERNANT LES PHÉNOMÈNES TRANSITOIRES DANS LES INSTRUMENTS À ANCHE

- 5.1. BAD DE MODÈLES D'INSTRUMENTS COMPLEXES

PLAN

4. PERSPECTIVES CONCERNANT LE CONTRÔLE PASSIF NON LINÉAIRE DE VIBRATIONS

- 4.1. CONTRÔLE ET RÉCUPÉRATION D'ÉNERGIE VIBRATOIRE NUISIBLE DANS LES ÉOLIENNES
- 4.2. ANALYSE LENTE-RAPIDE APPROFONDIE

5. PERSPECTIVES CONCERNANT LES PHÉNOMÈNES TRANSITOIRES DANS LES INSTRUMENTS À ANCHE

PROJETS AUTOUR DU CONTRÔLE ET DE LA RÉCUPÉRATION D'ÉNERGIE VIBRATOIRE

PROJET BQR INSA CVL (2023-2024) ET PROJET ACADEMIQUE RÉGIONAL CoREVE* (2024-2026)

*Contrôle et Récupération d'Énergie Vibratoire dans les Éoliennes

PROJETS AUTOUR DU CONTRÔLE ET DE LA RÉCUPÉRATION D'ÉNERGIE VIBRATOIRE

PROJET BQR INSA CVL (2023-2024) ET PROJET ACADEMIQUE RÉGIONAL CoREVE* (2024-2026)

CONTEXTE

Collab. GREMAN** + DSG DPT2MA*** (INSA CVL) + Travaux théoriques récents [Bergeot & Berger (2024), Physica D]

*Contrôle et Récupération d'Énergie Vibratoire dans les Éoliennes

**Laboratoire multidisciplinaire en matériaux, microélectronique, acoustique et nanotechnologies (UMR 7347)

***Déploiement de Plateformes Technologiques en Matériaux, Mécanique et Acoustique ultrasonore

PROJETS AUTOUR DU CONTRÔLE ET DE LA RÉCUPÉRATION D'ÉNERGIE VIBRATOIRE

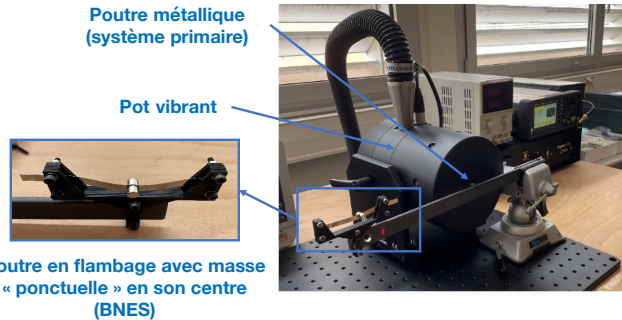
PROJET BQR INSA CVL (2023-2024) ET PROJET ACADEMIQUE RÉGIONAL CoREVE* (2024-2026)

CONTEXTE

Collab. GREMAN** + DSG DPT2MA*** (INSA CVL) + Travaux théoriques récents [Bergeot & Berger (2024), Physica D]

Conception d'un banc d'essai pour :

- ▶ L'atténuation de résonance vibratoire au moyen d'un BNES
[Iurasov & Mattei (2020), Nonlinear Dyn]
- ▶ La récupération de l'énergie vibratoire absorbée par le BNES à l'aide d'un patch piézoélectrique



*Contrôle et Récupération d'Énergie Vibratoire dans les Éoliennes

**Laboratoire multidisciplinaire en matériaux, microélectronique, acoustique et nanotechnologies (UMR 7347)

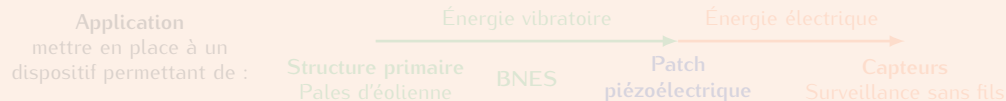
***Déploiement de Plateformes Technologiques en Matériaux, Mécanique et Acoustique ultrasonore

PROJETS AUTOUR DU CONTRÔLE ET DE LA RÉCUPÉRATION D'ÉNERGIE VIBRATOIRE

PROJET BQR INSA CVL (2023-2024) ET PROJET ACADEMIQUE RÉGIONAL CoREVE (2024-2026)

OBJECTIFS

Académique : mieux comprendre les mécanismes sous-jacents aux phénomènes de pompage énergétique et de conversion d'énergie mécano-électrique impliquant un NES bistable associé à un patch piézoélectrique



ÉTAPES

- ▶ Analyse rapide-lente de modèles académiques (continuité de [Bergeot & Berger (2024), Physica D])
- ▶ Simulations temporelles de modèles complexes : éoliennes + BNES (ou réseau de BNES)
- ▶ Finalisation du banc d'essai + campagne de mesures

MOYENS HUMAINS

BQR : 2 stages de Master 2

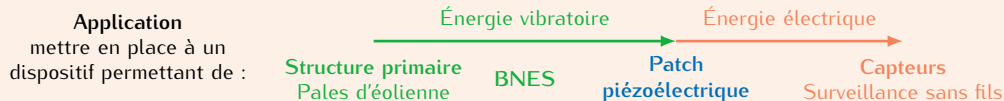
Projet CoREVE : 2 ans de post-doctorat

PROJETS AUTOUR DU CONTRÔLE ET DE LA RÉCUPÉRATION D'ÉNERGIE VIBRATOIRE

PROJET BQR INSA CVL (2023-2024) ET PROJET ACADEMIQUE RÉGIONAL CoREVE (2024-2026)

OBJECTIFS

Académique : mieux comprendre les mécanismes sous-jacents aux phénomènes de pompage énergétique et de conversion d'énergie mécano-électrique impliquant un NES bistable associé à un patch piézoélectrique



ÉTAPES

- ▶ Analyse rapide-lente de modèles académiques (continuité de [Bergeot & Berger (2024), Physica D])
- ▶ Simulations temporelles de modèles complexes : éoliennes + BNES (ou réseau de BNES)
- ▶ Finalisation du banc d'essai + campagne de mesures

MOYENS HUMAINS

BQR : 2 stages de Master 2

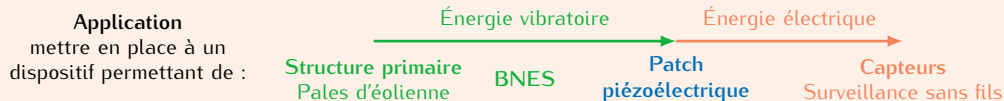
Projet CoREVE : 2 ans de post-doctorat

PROJETS AUTOUR DU CONTRÔLE ET DE LA RÉCUPÉRATION D'ÉNERGIE VIBRATOIRE

PROJET BQR INSA CVL (2023-2024) ET PROJET ACADEMIQUE RÉGIONAL CoREVE (2024-2026)

OBJECTIFS

Académique : mieux comprendre les mécanismes sous-jacents aux phénomènes de pompage énergétique et de conversion d'énergie mécano-électrique impliquant un NES bistable associé à un patch piézoélectrique



ÉTAPES

- ▶ Analyse rapide-lente de modèles académiques (continuité de [Bergeot & Berger (2024), Physica D])
- ▶ Simulations temporelles de modèles complexes : éoliennes + BNES (ou réseau de BNES)
- ▶ Finalisation du banc d'essai + campagne de mesures

MOYENS HUMAINS

BQR : 2 stages de Master 2

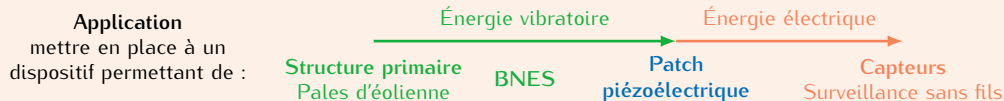
Projet CoREVE : 2 ans de post-doctorat

PROJETS AUTOUR DU CONTRÔLE ET DE LA RÉCUPÉRATION D'ÉNERGIE VIBRATOIRE

PROJET BQR INSA CVL (2023-2024) ET PROJET ACADEMIQUE RÉGIONAL CoREVE (2024-2026)

OBJECTIFS

Académique : mieux comprendre les mécanismes sous-jacents aux phénomènes de pompage énergétique et de conversion d'énergie mécano-électrique impliquant un NES bistable associé à un patch piézoélectrique



ÉTAPES

- ▶ Analyse rapide-lente de modèles académiques (continuité de [Bergeot & Berger (2024), Physica D])
- ▶ Simulations temporelles de modèles complexes : éoliennes + BNES (ou réseau de BNES)
- ▶ Finalisation du banc d'essai + campagne de mesures

MOYENS HUMAINS

BQR : 2 stages de Master 2

Projet CoREVE : 2 ans de post-doctorat

EFFET D'UN FORÇAGE STOCHASTIQUE FAIBLE SUR LE PHÉNOMÈNE DE POMPAGE ÉNERGÉTIQUE

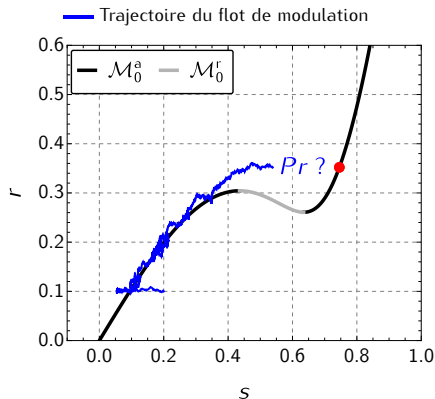
THÈSE D'ISRAA ZOGHEIB (2023-2026) - DIR. NILS BERGLUND (INSTITUT DENIS POISSON, IDP UMR CNRS 7013)

Suite de l'étude numérique [Bergeot (2023), Int J Non Linear Mech] \Rightarrow Le bruit favorise les régimes de non atténuation

OBJECTIF

Estimer analytiquement Pr :

La probabilité qu'après un passage au niveau du point-col gauche de M_0 une réalisation du **flot de modulation** arrive sur la partie attractive droite de M_0 au dessus de l'équilibre instable • (\equiv pas d'atténuation)



EFFET D'UN FORÇAGE STOCHASTIQUE FAIBLE SUR LE PHÉNOMÈNE DE POMPAGE ÉNERGÉTIQUE

THÈSE D'ISRAA ZOGHEIB (2023-2026) - DIR. NILS BERGLUND (INSTITUT DENIS POISSON, IDP UMR CNRS 7013)

Suite de l'étude numérique [Bergeot (2023), Int J Non Linear Mech] \Rightarrow Le bruit favorise les régimes de non atténuation

OBJECTIF

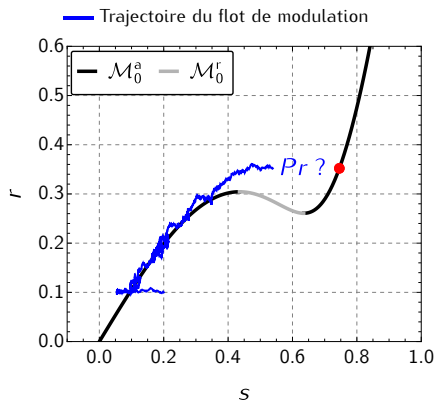
Estimer analytiquement Pr :

La probabilité qu'après un passage au niveau du point-col gauche de M_0 une réalisation du **flux de modulation** arrive sur la partie attractive droite de M_0 au dessus de l'équilibre instable • (\equiv pas d'atténuation)

PREMIÈRE ÉTAPE

Problème simplifié :

Calculer la **probabilité de sortie** du voisinage du point-col d'une **bifurcation col-nœud dynamique** avec un **bruit blanc agissant sur la variable lente**



PLAN

4. PERSPECTIVES CONCERNANT LE CONTRÔLE PASSIF NON LINÉAIRE DE VIBRATIONS

5. PERSPECTIVES CONCERNANT LES PHÉNOMÈNES TRANSITOIRES DANS LES INSTRUMENTS À ANCHE

5.1. BAD DE MODÈLES D'INSTRUMENTS COMPLEXES

COLL. : S. TERRIEN (LAUM) ET C. VERGEZ (LMA)

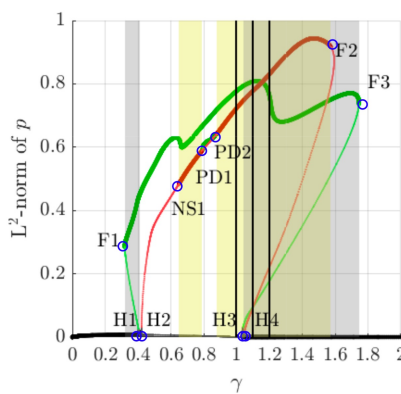


FIGURE. Diagramme de bifurcation (doigté de Ré# grave de saxophone alto). Obtenu à partir d'un modèle physique par équilibrage harmonique et méthode de continuation [Colinot *et al.* (2021), *Acta Acust*].

Équilibre (\equiv silence) : — stable — instable

1^{er} registre (\equiv note attendue) : — stable — instable

2nd registre (\equiv octave note attendue) : — stable — instable

Multistabilités :

entre 1^{er} et 2nd registres

entre Équilibre et 1^{er} registre

COLL. : S. TERRIEN (LAUM) ET C. VERGEZ (LMA)

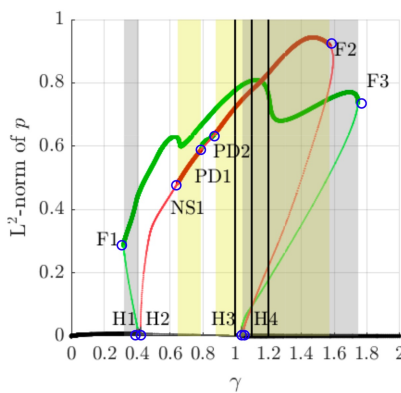


FIGURE. Diagramme de bifurcation (doigté de Ré# grave de saxophone alto). Obtenu à partir d'un modèle physique par équilibrage harmonique et méthode de continuation [Colinot *et al.* (2021), *Acta Acust*].

Équilibre (\equiv silence) : — stable — instable

1^{er} registre (\equiv note attendue) : — stable — instable

2nd registre (\equiv octave note attendue) : — stable — instable

Multistabilités :

entre 1^{er} et 2nd registres

entre Équilibre et 1^{er} registre

SUITE DE [Bergeot, Terrien & Vergez (2024), Chaos]

- ▶ BAD et SBAD dans le cas de **bistabilité entre deux solutions périodiques** (registres) :

- Calcul de **variétés associées à des solutions périodiques ou quasi-périodiques**
- ⇒ Méthodes de continuation (COCO)

COLL. : S. TERRIEN (LAUM) ET C. VERGEZ (LMA)

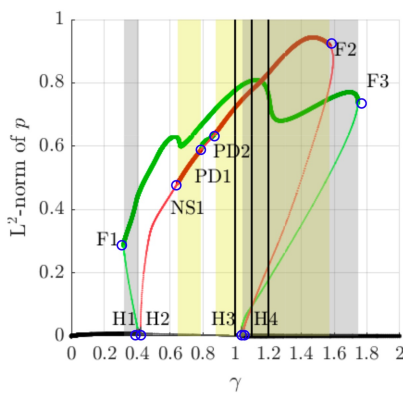


FIGURE. Diagramme de bifurcation (doigté de Ré) grave de saxophone alto). Obtenu à partir d'un modèle physique par équilibrage harmonique et méthode de continuation [Colinot *et al.* (2021), *Acta Acust*].

Équilibre (\equiv silence) : — stable — instable

1^{er} registre (\equiv note attendue) : — stable — instable

2nd registre (\equiv octave note attendue) : — stable — instable

Multistabilités :

entre 1^{er} et 2nd registres

entre Équilibre et 1^{er} registre

SUITE DE [Bergeot, Terrien & Vergez (2024), Chaos]

- ▶ BAD et SBAD dans le cas de **bistabilité entre deux solutions périodiques** (registres) :
 - Calcul de variétés associées à des solutions périodiques ou quasi-périodiques
⇒ Méthodes de continuation (COCO)
- ▶ **Influence du bruit**
 - Monte Carlo : CI \Rightarrow proba. P_{BAD} de rejoindre une variété attractive

COLL. : S. TERRIEN (LAUM) ET C. VERGEZ (LMA)

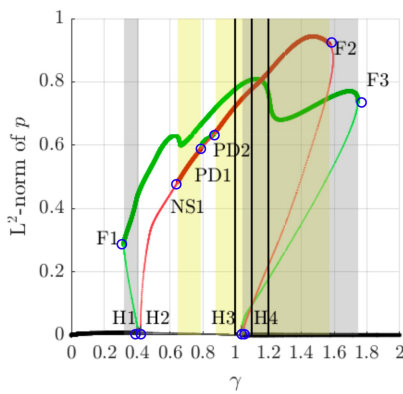


FIGURE. Diagramme de bifurcation (doigté de Ré# grave de saxophone alto). Obtenu à partir d'un modèle physique par équilibrage harmonique et méthode de continuation [Colinot *et al.* (2021), *Acta Acust*].

Équilibre (\equiv silence) : — stable — instable

1^{er} registre (\equiv note attendue) : — stable — instable

2nd registre (\equiv octave note attendue) : — stable — instable

Multistabilités :

entre 1^{er} et 2nd registres

entre Équilibre et 1^{er} registre

SUITE DE [Bergeot, Terrien & Vergez (2024), Chaos]

- ▶ BAD et SBAD dans le cas de **bistabilité entre deux solutions périodiques** (registres) :
 - Calcul de variétés associées à des solutions périodiques ou quasi-périodiques
⇒ Méthodes de continuation (COCO)
- ▶ **Influence du bruit**
 - Monte Carlo : CI \Rightarrow proba. P_{BAD} de rejoindre une variété attractive
 - Analyse rapide-lente : thèse Israa Zogheib

SYSTÈMES RAPIDES-LENTS EN MÉCANIQUE VIBRATOIRE

Application à l'étude du contrôle passif non linéaire de vibrations et des phénomènes transitoires dans les instruments de musique à anche

Baptiste BERGEOT

Maître de conférences, INSA Centre Val de Loire, LaMé EA 7494

JURY :

Sébastien BERGER	Professeur des Universités	INSA Centre Val de Loire
Nils BERGLUND	Professeur des Universités	Univ. Orléans
Thomas HÉLIE	Directeur de Recherche	CNRS, IRCAM
Claude-Henri LAMARQUE	Professeur ENTPE	ENTPE, Univ. Lyon
Pierre-Olivier MATTEI	Chargé de Recherche-HDR	CNRS, Univ. Aix-Marseille
Stéphane Méo	Professeur des Universités	Univ. Tours
Emeline SADOULET-REBOUL	Maître de Conférences-HDR	Univ. Franche-Comté
Christophe VERGEZ	Directeur de Recherche	CNRS, Univ. Aix-Marseille



INSTITUT NATIONAL
DES SCIENCES
APPLIQUÉES
CENTRE VAL DE LOIRE

